

تحلیل کمانش الستیک - پلاستیک صفحه مستطیلی ضخیم با استفاده از نظریه تغییر شکل برشی مرتبه - بالای سینوسی

محمد قادری^۱، مهدی سلمانی تهرانی^{۲*}

۱- دانشجوی کارشناسی ارشد، مهندسی مکانیک، دانشگاه صنعتی اصفهان، اصفهان
۲- استادیار، مهندسی مکانیک، دانشگاه صنعتی اصفهان، اصفهان
* ایران، اصفهان، کد پستی ۸۳۱۱۱۸۴۱۵۶

چکیده

در این مقاله کمانش الستیک - پلاستیک صفحه مستطیلی ضخیم، براساس نظریه تغییر شکل برشی مرتبه - بالای سینوسی و به کارگیری دو نظریه پلاستیسیته نموی و تغییر شکل بررسی شده است. بارگذاری به صورت فشار دومحوره با نسبت های مختلف و تکیه گاه ساده روی لبه های خارجی در نظر گرفته شده است. تنش بحرانی کمانش با استفاده از کمینه سازی معیار انتگرالی یگانگی پاسخ محاسبه شده است. برای این کار تابع های آزمون جابه جایی عرضی و چرخش، بر پایه روش ریلی - ریتز، به صورت ترکیب خطی از تابع های پایه که شرایط مرزی هندسی را ارضاء کنند، انتخاب شده اند. برای ارزیابی تحلیل، نتایج در حالتی که از فرض تغییر شکل برشی میندلین استفاده شده با نتایج مراجع پیشین مقایسه و سازگاری خوبی بین نتایج مشاهده شده است. آن گاه برای صفحه از جنس آلومینیوم، اثر نسبت خاصیت صفحه، نسبت ضلع ها و نسبت های مختلف بارگذاری دومحوره بر تنش بحرانی کمانش بررسی شده است. تحلیل ها نشان می دهند پیش بینی نظریه میندلین و نظریه سینوسی، برای تنش بحرانی کمانش در مسأله مورد بررسی، بسیار نزدیک به یکدیگر است. بنابراین برای پیش بینی تنش بحرانی کمانش در این مسأله، نظریه میندلین از دقت کافی برخوردار است. همچنین هنگامی که بارگذاری از فشار دومحوره به تکمحوره تغییر کند و یا نسبت خاصیت صفحه افزایش یابد، اختلاف دو نظریه پلاستیسیته بیشتر می شود. همچنین برای بارگذاری به صورت کشش - فشار، نظریه تغییر شکل نسبت به نظریه نموی بار بحرانی بسیار کمتری پیش بینی می کند.

اطلاعات مقاله

مقاله پژوهشی کامل
دریافت: ۱۷ فروردین ۱۳۹۴
پذیرش: ۰۲ خرداد ۱۳۹۴
ارائه در سایت: ۱۹ خرداد ۱۳۹۴
کلید واژگان:
کمانش الستیک - پلاستیک
صفحة ضخیم مستطیلی
نظریه مرتبه - بالای سینوسی
روش ریلی - ریتز

Elastic-Plastic buckling analysis of a thick rectangular plate using sinusoidal higher-order shear deformation theory

Mohammad Ghaderi, Mehdi Salmani Tehrani*

Department of Mechanical Engineering, Isfahan University of Technology, Isfahan, Iran.

* P.O.B. 8415683111, Isfahan, Iran, tehrani@cc.iut.ac.ir

ARTICLE INFORMATION

Original Research Paper

Received 06 April 2015

Accepted 23 May 2015

Available Online 09 June 2015

Keywords:

Elastic-Plastic Buckling

Thick Rectangular Plate

Sinusoidal Higher-Order Shear Deformation Theory

Rayleigh-Ritz Method

ABSTRACT

In this paper, elastic-plastic buckling of a thick rectangular plate has been investigated based on both Incremental (IT) and Deformation (DT) plasticity theories. Uniform biaxial edge traction was assumed as the plate loading while simply supported as the boundary conditions. Integral uniqueness criterion has been minimized to determine the critical buckling traction. Based on Rayleigh-Ritz method, a linear combination of polynomial base functions which satisfy the geometrical boundary conditions has been used as the trial functions for rotations and transverse deflection. To validate the analysis, the results for the Mindlin plate theory have been compared with the previously published results and very close agreement has been observed. Then the effects of thickness ratio, aspect ratio and also different biaxial traction ratios on the buckling traction have been investigated. The results show that for the problem considered here, very close critical buckling traction is predicted by both the Mindlin and sinusoidal plate theories. This implies that Mindlin plate theory is sufficiently accurate to predict critical buckling traction in this problem. Moreover, when the loading is gradually changed from biaxial into uniaxial compression or when the thickness-ratio is increased, the difference between the two theories is also increased. Also, for compression-tension loading case, the critical buckling traction predicted by deformation theory is much less than the incremental theory.

مهندسی مانند خوردوسازی، فضایپیماها، کشتیها و ماشینآلات صنعتی،

پژوهشگران به بررسی پیش بینی رفتار صفحه ها در شرایط متفاوت ترغیب

۱- مقدمه

با توجه به ساختار و گستردگی کاربرد صفحه ها در صنایع و سازه های

Please cite this article using:

M. Ghaderi, M. Salmani Tehrani, Elastic-Plastic buckling analysis of a thick rectangular plate using sinusoidal higher-order shear deformation theory, *Modares Mechanical Engineering*, Vol. 15, No. 7, pp. 274-284, 2015 (In Persian)

برای ارجاع به این مقاله از عبارت ذیل استفاده نمایید:

کمانش به دست آمده از نظریه نموی بیشتر از نظریه تغییر شکل است. البته با این تفاوت هنوز هم نتایج بدست آمده از دو نظریه به اندازه قابل توجهی با هم اختلاف دارند. وانگ و همکاران [13] به تحلیل کمانش الاستیک-پلاستیک صفحه ضخیم مستطیلی و دایره‌ای براساس نظریه برشی میندلین تحت بارگذاری فشاری تکمحوره و دومحوره با شرایط تکیه‌گاهی مختلف گیردار، ساده و آزاد پرداختند. آن‌ها در کار خود به مقایسه هر دو نظریه نموی و تغییر شکل پرداخته و نشان دادند که بار کمانش بدست آمده از نظریه نموی نسبت به نظریه تغییر شکل بیشتر است. این نتیجه با نتایج پژوهش پیشین هم خوانی دارد. همچنین آن‌ها نشان دادند در نظریه نموی با افزایش نسبت ضخامت صفحه، بار کمانش افزایش می‌یابد، ولی این افزایش بار کمانش در نظریه تغییر شکل بسیار اندک است. وانگ و همکاران [14] در پژوهشی دیگر به تحلیل کمانش الاستیک-پلاستیک صفحه ضخیم با استفاده از روش حل ریتزا پرداختند. آن‌ها هر دو نظریه نموی و تغییر شکل را بررسی کردند، از نظریه برشی میندلین جهت استخراج معادلات استفاده و هندسه‌های متفاوتی مانند دایره، بیضی، مثلث و مستطیل را در کار خود بررسی کردند. آن‌ها در کار خود به این نتیجه رسیدند که در نسبت ضخامت‌های کم که می‌توان از فرض صفحه نازک استفاده کرد، نظریه‌های نموی و تغییر شکل نتایج به نسبت یکسانی دارند، ولی با افزایش نسبت ضخامت اختلاف دو نظریه افزایش می‌یابد.

کدخدایان و معارف‌دوست [15] کمانش الاستیک-پلاستیک صفحه مستطیلی را براساس نظریه‌های نموی و تغییر شکل و با استفاده از روش عددی یک‌چهارم تفاضلی تعیین یافته تحلیل کردند. آن‌ها در کار خود اثر ضخامت صفحه و ثابت‌های رامبرگ-آزگود را بر بار بحرانی کمانش بررسی و نتیجه گرفتند با افزایش سطح تغییر شکل پلاستیک، نظریه تغییر شکل بار کمانش کمتری را پیش‌بینی می‌کند. رضایی و سلمانی تهرانی [16] کمانش الاستیک-پلاستیک صفحه دایره‌ای نازک با ضخامت متغیر را براساس هر دو نظریه نموی و تغییر شکل و با استفاده از روش ریلی-ریتزا مطالعه کردند. آن‌ها نشان دادند ۱۰ درصد تغییر ضخامت صفحه می‌تواند تا حدود ۴۰ درصد اختلاف در پیش‌بینی تنش بحرانی کمانش به همراه داشته باشد.

براساس جستجوی نگارنده‌گان، تاکنون پژوهشی در زمینه کمانش الاستیک-پلاستیک صفحه مستطیلی ضخیم، بر پایه نظریه‌های تغییر شکل برشی مرتبه-بالای سینوسی و یا مرتبه سوم، منتشر نشده است. این موضوع از آن جهت اهمیت دارد که در نظریه‌های برشی مرتبه-بالا، تنش‌های برشی در لبه‌های بالایی و پایینی صفحه صفر می‌شوند. در صورتی که براساس نظریه برشی میندلین، روی سطوح‌های بالایی و پایینی ورق تنش برشی به وجود می‌آید. در صورتی که در واقعیت چنین نبوده و این فرض می‌تواند در نتایج نهایی تأثیرگذار بوده و بار کمانش دقیقی ندهد.

شکل ۱ به صورت طرح‌واره، هندسه و بارگذاری مسئله مورد بررسی در این مقاله را نشان می‌دهد. در شکل ۱ صفحه مستطیلی به طول a ، عرض b و ضخامت h تحت بارگذاری دومحوره با نسبت بارگذاری ζ نشان داده شده است. نوع و میزان بارگذاری به وسیله پارامتر ζ تعیین می‌شود. برای نمونه بهازای $\zeta=0$ بارگذاری فشار تکمحوره، بهازای $\zeta=1$ فشار دومحوره و بهازای $\zeta=1$ - ζ بارگذاری متناظر با کشش- فشار یکنواخت است.

2- معادلات حاکم

در تحلیل کمانش الاستیک-پلاستیک، بار بحرانی متناظر با آستانه کمانش با

شده‌اند. از این‌رو محققان جهت بررسی رفتار صفحه‌ها، با انجام ساده‌سازی در برخی از معادله‌های حاکم، به تحلیل رفتار صفحه در بارگذاری‌های متفاوت پرداخته‌اند. یکی از مهم‌ترین جنبه‌های مطرح در تحلیل رفتار صفحه‌ها، بررسی کمانش و ناپایداری صفحه است. در واقع کمانش پدیده‌ای است که در آن صفحه تحت یکی از مودهای ناپایداری، دچار تغییر شکل‌های بزرگی می‌شود.

از جمله پژوهش‌های انجام شده بر تحلیل کمانش الاستیک صفحه نازک مستطیلی می‌توان به کارهای یاماکی [1]، تیموشنکو [2] و ماجومدار [3] اشاره کرد. نتایج حاصل از این تحلیل‌ها، به دلیل فرض نظریه صفحه نازک، تخمین بالادستی از بار کمانش می‌دهد که در عمل نتیجه مطلوبی نیست. از این‌رو کمانش الاستیک صفحه ضخیم که معادلات آن‌ها براساس نظریه‌های برشی مرتبه اول و مرتبه-بالای سینوسی استخراج شده‌اند بررسی شد. تا و وو [4] کمانش الاستیک صفحه مدرج تابعی با استفاده از نظریه تغییر شکل برشی مرتبه-بالای سینوسی را بررسی کردند. آن‌ها نتایج کار خود را با نظریه‌های تغییر شکل برشی میندلین و مرتبه سوم مقایسه کردند. ولی حل الاستیک کمانش صفحه ضخیم نمی‌تواند پاسخ صحیحی از حالت بارگذاری که در طی آن تناسور تنش معادل در یک نقطه از صفحه از تنش تسلیم آن بزرگ‌تر باشد، ارائه دهد. به همین جهت مسئله کمانش الاستیک-پلاستیک مورد توجه محققان قرار گرفت. دو نظریه پلاستیسیته نموی و تغییر شکل در ارتباط با پلاستیسیته مطرح است که در پژوهش‌ها مورد بحث و بررسی قرار می‌گیرد. نخست ایلیوشن [5] و استول [6] با پیاده‌سازی روابط حاکم بر نظریه تغییر شکل، کمانش پلاستیک صفحه‌ها را بررسی کردند. هندلمن و پراگر [7] نیز با استفاده از نظریه نموی کمانش پلاستیک صفحه‌ها را بررسی کردند.

غزالی و شربورن [8] کمانش الاستیک-پلاستیک صفحه نازک مستطیلی را با استفاده از نظریه‌های نموی و تغییر شکل برشی و جهت حل معادلات کمانش از روش نیوتن-رافسون استفاده کردند. در نهایت نتایج خود را با نتایج بدست آمده از آزمایش مقایسه کردند. دوربان و زوکرمن [9] کمانش الاستیک-پلاستیک صفحه مستطیلی نازک تحت بارگذاری کششی و فشاری تکمحوره و دومحوره را به روش جداسازی متغیرها بررسی کردند. آن‌ها از هر دو نظریه نموی و تغییر شکل استفاده نمودند. نتایج پژوهش آن‌ها نشان می‌دهد بار کمانش ناشی از نظریه تغییر شکل کمتر از بار کمانش ناشی از نظریه نموی است. همچنین آن‌ها با استفاده از نظریه تغییر شکل یک مسیر بارگذاری بهینه برای هر شرط مرزی دلخواه ارائه کردند. بتن و شین [10] با استفاده از روش حل نیمه-تحلیلی به تحلیل کمانش الاستیک-پلاستیک صفحه نازک مستطیلی تحت شرایط تکیه‌گاهی ساده در چهار طرف و بارگذاری فشاری دومحوره پرداختند. آن‌ها در کار خود به اثر نسبت ابعاد، ضریب بارگذاری و ضرایب کارسختی بر بار کمانش پرداختند. وانگ و همکاران [11] به تحلیل کمانش الاستیک-پلاستیک صفحه نازک مستطیلی تحت بارگذاری فشاری تکمحوره در دو انتهای و همچنین بارگذاری فشار تکمحوره در دو انتهای و سطح صفحه پرداختند. آن‌ها هر دو نظریه تغییر شکل و نموی را بررسی کرده و معادله کمانش را با استفاده از روش لوی حل کردند.

مسئله کمانش الاستیک-پلاستیک صفحه ضخیم را نخست شریواستوا در پژوهش خود [12] بررسی کرد. او در نتایج خود نشان داد که بار کمانش به دست آمده از نظریه نموی نسبت به نظریه تغییر شکل بزرگ‌تر است. در حالی که اثر تنش‌های برشی یا به بیان دیگر تغییر شکل‌های برشی بر بار

$$\begin{aligned}\dot{\varepsilon}_{xx} &= -z \frac{\partial^2 v_z}{\partial x^2} + \left(\frac{h}{\pi}\right) \left(\frac{\partial \omega_y}{\partial x}\right) \sin\left(\frac{\pi z}{h}\right) \\ \dot{\varepsilon}_{yy} &= -z \frac{\partial^2 v_z}{\partial y^2} + \left(\frac{h}{\pi}\right) \left(\frac{\partial \omega_x}{\partial y}\right) \sin\left(\frac{\pi z}{h}\right) \\ \dot{\gamma}_{xy} &= -2z \frac{\partial^2 v_z}{\partial x \partial y} + \left(\frac{h}{\pi}\right) \left(\frac{\partial \omega_y}{\partial y} + \frac{\partial \omega_x}{\partial x}\right) \sin\left(\frac{\pi z}{h}\right) \\ \dot{\gamma}_{xz} &= \omega_y(x, y) \cos\left(\frac{\pi z}{h}\right) \\ \dot{\gamma}_{yz} &= \omega_x(x, y) \cos\left(\frac{\pi z}{h}\right)\end{aligned}\quad (4)$$

رابطه نرخ تنش برحسب نرخ کرنش در صفحه‌ها به صورت رابطه خواهد بود [17].

$$\begin{aligned}\dot{\sigma}_{xx} &= E(\alpha \dot{\varepsilon}_{xx} + \beta \dot{\varepsilon}_{yy}) \\ \dot{\sigma}_{yy} &= E(\beta \dot{\varepsilon}_{xx} + \gamma \dot{\varepsilon}_{yy}) \\ \dot{\tau}_{xy} &= G \dot{\gamma}_{xy} \\ \dot{\tau}_{xz} &= G \dot{\gamma}_{xz} \\ \dot{\tau}_{yz} &= G \dot{\gamma}_{yz}\end{aligned}\quad (5)$$

در رابطه‌های (5) α , β و G پارامترهایی هستند که براساس مشخصه‌های مکانیکی و وضعیت تنش در ماده بیان می‌شوند. این پارامترها برای دو حالت نظریه‌های تغییر شکل و نموی متفاوت هستند. برای نظریه نموی این پارامترها مطابق روابط (6) به دست می‌آیند [17].

$$\begin{aligned}\rho &= (5 - 4\nu) - (1 - 2\nu)^2 \left(\frac{T}{E}\right) - 3(1 - 2\nu) \left(1 - \frac{T}{E}\right) \frac{\sigma_1 \sigma_2}{\sigma_{eq}^2} \\ \alpha &= \frac{1}{\rho} \left[4 - 3 \left(1 - \frac{T}{E}\right) \frac{\sigma_1^2}{\sigma_{eq}^2} \right] \\ \beta &= \frac{1}{\rho} \left[2 - 2(1 - 2\nu) \frac{T}{E} - 3 \left(1 - \frac{T}{E}\right) \frac{\sigma_1 \sigma_2}{\sigma_{eq}^2} \right] \\ \gamma &= \frac{1}{\rho} \left[4 - 3 \left(1 - \frac{T}{E}\right) \frac{\sigma_2^2}{\sigma_{eq}^2} \right] \\ G &= \frac{E}{2(1 + \nu)}\end{aligned}\quad (6)$$

برای نظریه تغییر شکل نیز پارامترهای α , β , γ و G براساس رابطه‌های (7) به دست می‌آیند [17].

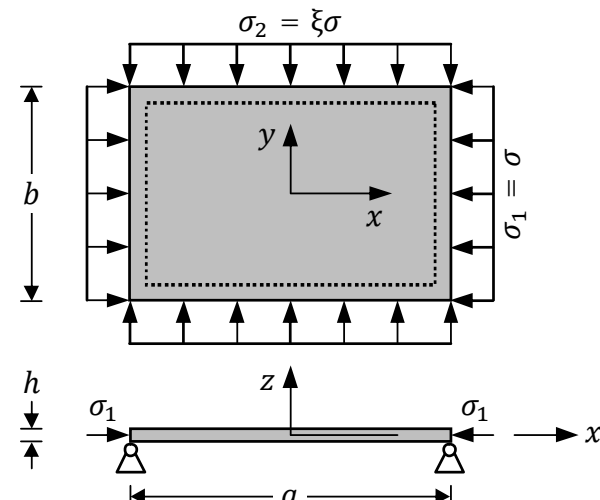
$$\begin{aligned}\rho &= 3 \frac{E}{S} + (1 - 2\nu) \left[2 - (1 - 2\nu) \left(\frac{T}{E}\right) - 3 \left(1 - \frac{T}{S}\right) \frac{\sigma_1 \sigma_2}{\sigma_{eq}^2} \right] \\ \alpha &= \frac{1}{\rho} \left[4 - 3 \left(1 - \frac{T}{E}\right) \frac{\sigma_1^2}{\sigma_{eq}^2} \right] \\ \beta &= \frac{1}{\rho} \left[2 - 2(1 - 2\nu) \frac{T}{E} - 3 \left(1 - \frac{T}{S}\right) \frac{\sigma_1 \sigma_2}{\sigma_{eq}^2} \right] \\ \gamma &= \frac{1}{\rho} \left[4 - 3 \left(1 - \frac{T}{S}\right) \frac{\sigma_2^2}{\sigma_{eq}^2} \right] \\ G &= \frac{E}{-1 + 2\nu + 3 \left(\frac{T}{S}\right)}\end{aligned}\quad (7)$$

تنش معادل σ_{eq} در روابط (7,6)، با فرض پیروی ماده از معیار تسلیم ون میزز، براساس رابطه (8) تعیین می‌شود [13].

$$(\sigma_{eq}^{Mises})^2 = \sigma_1^2 - \sigma_1 \sigma_2 + \sigma_2^2 \quad (8)$$

در رابطه (8) σ_{eq}^{Mises} تنش معادل ون میزز و σ_1 و σ_2 به ترتیب تنش روى لبه‌ها در جهت‌های x و y هستند (شکل 1).

همچنین پارامترهای E , T و S در روابط (7,6) به ترتیب نشان‌گر مدول الاستیسیته، مدول مماسی و مدول وتری ماده هستند. این پارامترها به صورت طرح‌واره در شکل 2 برای نقطه دلخواه A از منحنی تنش-کرنش نشان داده



شکل 1 نمایش طرح‌واره هندسه و بارگذاری صفحه مستطیلی، تحت بارگذاری دومحوره با نسبت بارگذاری ξ و تکیه‌گاه ساده در چهار لبه

استفاده از شرط انتگرالی یگانگی¹ پاسخ محاسبه می‌شود [17,13]. براساس این معیار، شرط یگانگی پاسخ آن است که انرژی پتانسیل کل منفی نباشد. درنتیجه بار بحرانی کمانش که متناظر با نقطه دوشاخگی² است، با استفاده از شرط کمینه‌شدن انرژی پتانسیل کل محاسبه می‌شود. برای مسئله مورد بررسی که در شکل 1 نشان داد شده است، انرژی پتانسیل کل براساس رابطه (1) محاسبه می‌شود [13].

$$\Pi = \frac{1}{2} \int \left\{ \dot{\sigma}_{ij} \dot{\varepsilon}_{ij} - \sigma_1 \left[\left(\frac{\partial v_y}{\partial x}\right)^2 + \left(\frac{\partial v_z}{\partial x}\right)^2 \right] - \sigma_2 \left[\left(\frac{\partial v_x}{\partial y}\right)^2 + \left(\frac{\partial v_z}{\partial y}\right)^2 \right] \right\} dV \quad (1)$$

در رابطه (1)، $\dot{\sigma}_{ij}$ و $\dot{\varepsilon}_{ij}$ به ترتیب نرخ مؤلفه‌های تنش و کرنش، σ_1 و σ_2 ترکش‌های مزدی در امتداد محور x و y هستند و v_x , v_y , v_z مؤلفه‌های دکارتی میدان سرعت هستند. میدان سرعت با توجه به فرض تغییر شکل برشی مرتبه - بالای سینوسی، در قالب رابطه (2) بیان می‌شود [4].

$$\begin{aligned}v_x &= -z \frac{\partial v_z}{\partial x} + \left(\frac{h}{\pi}\right) \omega_y(x, y) \sin\left(\frac{\pi z}{h}\right) \\ v_y &= -z \frac{\partial v_z}{\partial y} + \left(\frac{h}{\pi}\right) \omega_x(x, y) \sin\left(\frac{\pi z}{h}\right) \\ v_z &= v_z(x, y)\end{aligned}\quad (2)$$

در رابطه (2)، v_z نرخ جابه‌جایی (سرعت) در راستای محور z , ω_y , ω_x نرخ چرخش حول محور y و ω_x نرخ چرخش حول محور x را نشان می‌دهد. از سوی دیگر نرخ کرنش‌ها براساس رابطه‌های (3) تعیین می‌شوند [13].

$$\begin{aligned}\dot{\varepsilon}_{xx} &= \frac{\partial v_x}{\partial x} \\ \dot{\varepsilon}_{yy} &= \frac{\partial v_y}{\partial y} \\ \dot{\varepsilon}_{zz} &= \frac{\partial v_z}{\partial z} \\ \dot{\gamma}_{xy} &= \frac{\partial v_x}{\partial y} + \frac{\partial v_y}{\partial x} \\ \dot{\gamma}_{xz} &= \frac{\partial v_x}{\partial z} + \frac{\partial v_z}{\partial x} \\ \dot{\gamma}_{yz} &= \frac{\partial v_y}{\partial z} + \frac{\partial v_z}{\partial y}\end{aligned}\quad (3)$$

با جایگزینی میدان سرعت در رابطه‌های (3)، نرخ کرنش‌ها به شکل رابطه (4) بازنویسی خواهد شد.

1- Uniqueness

2- Bifurcation

1-3- بی بعدسازی متغیرها و معادله های حاکم
متغیرها و کمیت های بی بعد براساس رابطه های (12) تعریف می شوند.

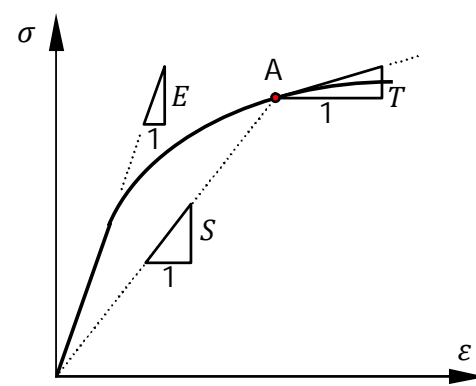
$$\begin{aligned} \bar{x} &= \frac{2x}{a} \\ \bar{y} &= \frac{2y}{b} \\ \bar{h} &= \frac{h}{b} \\ \bar{W} &= \frac{2w}{a} \\ \bar{\sigma} &= \frac{\sigma_1}{E} \\ \xi &= \frac{\sigma_2}{\sigma_1} \\ \eta &= \frac{a}{b} \end{aligned} \quad (12)$$

در رابطه های (12) $\bar{\sigma}$ بیان گر پارامتر بی بعد بارگذاری است که در قسمت نتایج، تنش بحرانی کمانش با استفاده از این پارامتر مشخص می شود.
با استفاده از کمیت های بی بعد در رابطه های (12)، شکل بی بعد شده رابطه (11)، پس از انگرال گیری در جهت ضخامت، به صورت رابطه (13) به دست می آید.

$$\begin{aligned} \Pi &= \frac{Eh^3}{\pi^2} \int_{-1}^1 \int_{-1}^1 \{T_1 + T_2 + T_3 + T_4 - T_5\} d\bar{x} d\bar{y} \\ T_1 &= \frac{\alpha}{\eta} \left[\frac{1}{2} \left(\frac{\partial \varphi}{\partial \bar{x}} \right)^2 + \frac{\pi^2}{12} \left(\frac{\partial^2 \bar{W}}{\partial \bar{x}^2} \right)^2 - \frac{4}{\pi} \left(\frac{\partial \varphi}{\partial \bar{x}} \right) \left(\frac{\partial^2 \bar{W}}{\partial \bar{x}^2} \right) \right] \\ T_2 &= 2\beta \left[\frac{-2}{\pi} \left(\frac{\partial^2 \bar{W}}{\partial \bar{x}^2} \frac{\partial \psi}{\partial \bar{y}} + \eta \frac{\partial^2 \bar{W}}{\partial \bar{y}^2} \frac{\partial \varphi}{\partial \bar{x}} \right) + \frac{\pi^2 \eta}{12} \left(\frac{\partial^2 \bar{W}}{\partial \bar{x}^2} \right) \left(\frac{\partial^2 \bar{W}}{\partial \bar{y}^2} \right) + \frac{1}{2} \left(\frac{\partial \varphi}{\partial \bar{x}} \right) \left(\frac{\partial \psi}{\partial \bar{y}} \right) \right] \\ T_3 &= \gamma \left[\frac{\eta}{2} \left(\frac{\partial \psi}{\partial \bar{y}} \right)^2 + \frac{\pi^2 \eta^3}{12} \left(\frac{\partial^2 \bar{W}}{\partial \bar{y}^2} \right)^2 - \frac{4\eta^2}{\pi} \left(\frac{\partial \psi}{\partial \bar{y}} \right) \left(\frac{\partial^2 \bar{W}}{\partial \bar{y}^2} \right) \right] \\ T_4 &= \frac{1}{2(1+\nu)} \left[\frac{\pi^2 \eta}{3} \left(\frac{\partial^2 \bar{W}}{\partial \bar{x} \partial \bar{y}} \right)^2 + \frac{\eta}{2} \left(\frac{\partial \varphi}{\partial \bar{y}} \right)^2 + \frac{1}{2\eta} \left(\frac{\partial \psi}{\partial \bar{x}} \right)^2 + 2 \left(\frac{\partial \varphi}{\partial \bar{y}} \frac{\partial \psi}{\partial \bar{x}} \right) - \frac{8\eta}{\pi} \left(\frac{\partial^2 \bar{W}}{\partial \bar{x} \partial \bar{y}} \right) \left(\frac{\partial \varphi}{\partial \bar{y}} \right) - \frac{8}{\pi} \left(\frac{\partial^2 \bar{W}}{\partial \bar{x} \partial \bar{y}} \right) \left(\frac{\partial \psi}{\partial \bar{x}} \right) + \frac{\pi^2 \eta}{8} \left(\frac{1}{\bar{h}} \right)^2 (\varphi^2 + \psi^2) \right] \\ T_5 &= \bar{\sigma}_{cr} \left[\frac{\pi^2 \eta}{4} \left(\frac{1}{\bar{h}} \right)^2 \left(\left(\frac{\partial \bar{W}}{\partial \bar{x}} \right)^2 + \xi \eta^2 \left(\frac{\partial \bar{W}}{\partial \bar{y}} \right)^2 \right) \right] \end{aligned} \quad (13)$$

2-3- روش حل
برای کمینه سازی معادله (13) روش های مختلفی وجود دارد. در این مقاله از روش ریلی - ریتز استفاده شده است. در این روش تابع های مجھول w , φ و ψ به صورت ترکیبی از m جمله که هر یک شرایط مرزی هندسی را ارضاء می کنند، تقریب زده می شوند. در این مقاله تابع های تقریب به صورت چندجمله ای مرتبه کامل انتخاب شده اند. شکل بی بعد شده تابع های تقریب w , φ و ψ در رابطه های (14) بیان شده اند.

$$\begin{aligned} \bar{w} &= \bar{w}_b \sum_{q=0}^p \sum_{i=0}^q \bar{d}_{iq}^w (\bar{x})^i (\bar{y})^{q-i} \\ \varphi &= \varphi_b \sum_{q=0}^p \sum_{i=0}^q \bar{d}_{iq}^\varphi (\bar{x})^i (\bar{y})^{q-i} \end{aligned}$$



شکل 2 نمایش طرح واره مدول الاستیسیته، مدول مماسی و مدول وتری در نقطه دلخواه A از منحنی تنش - کرنش

شده اند.

در این مقاله برای رابطه تنش و کرنش از مدل رامبرگ - آزگود که در رابطه (9) بیان شده [13]، استفاده شده است.

$$\varepsilon_{eq} = \frac{\sigma_{eq}}{E} + k \left(\frac{\sigma_0}{E} \right)^c \quad (9)$$

در نتیجه نسبت های مدول مماسی و مدول وتری به مدول الاستیسیته، براساس روابط (10) به دست می آیند [13].

$$\begin{aligned} \frac{T}{E} &= \frac{1}{1 + k c \left(\frac{\sigma_0}{E} \right)^{c-1} \left(\frac{\sigma_{eq}}{E} \right)^{c-1}} \\ \frac{S}{E} &= \frac{1}{1 + k \left(\frac{\sigma_0}{E} \right)^{c-1} \left(\frac{\sigma_{eq}}{E} \right)^{c-1}} \end{aligned} \quad (10)$$

با استفاده از روابط (5,4) و جای گذاری در رابطه (1) و سپس ضرب نتیجه در dt^2 ، رابطه (1) به صورت رابطه (11) بازنویسی می شود.

$$\begin{aligned} \Pi &= E \int \left\{ \alpha \left[-z \frac{\partial^2 w}{\partial x^2} + \left(\frac{h}{\pi} \right) \left(\frac{\partial \varphi}{\partial x} \right) \sin \left(\frac{\pi z}{h} \right) \right]^2 + \right. \\ &\quad 2\beta \left[-z \frac{\partial^2 w}{\partial x^2} + \left(\frac{h}{\pi} \right) \left(\frac{\partial \varphi}{\partial x} \right) \sin \left(\frac{\pi z}{h} \right) \right] \times \\ &\quad \left[-z \frac{\partial^2 w}{\partial y^2} + \left(\frac{h}{\pi} \right) \left(\frac{\partial \psi}{\partial y} \right) \sin \left(\frac{\pi z}{h} \right) \right] + \\ &\quad \left. \gamma \left[-z \frac{\partial^2 w}{\partial y^2} + \left(\frac{h}{\pi} \right) \left(\frac{\partial \psi}{\partial y} \right) \sin \left(\frac{\pi z}{h} \right) \right]^2 + \right. \\ &\quad G \left[-2z \frac{\partial^2 w}{\partial x \partial y} + \left(\frac{h}{\pi} \right) \left(\frac{\partial \varphi}{\partial y} + \frac{\partial \psi}{\partial x} \right) \sin \left(\frac{\pi z}{h} \right) \right]^2 + \\ &\quad \left. \frac{G}{E} \left[\varphi(x, y) \cos \left(\frac{\pi z}{h} \right) \right]^2 + \right. \\ &\quad \left. \frac{G}{E} \left[\psi(x, y) \cos \left(\frac{\pi z}{h} \right) \right]^2 - \right. \\ &\quad \left. \frac{\sigma_1}{E} \left[\left(\frac{\partial v_y}{\partial x} \right)^2 + \left(\frac{\partial v_z}{\partial x} \right)^2 \right] - \right. \\ &\quad \left. \frac{\sigma_2}{E} \left[\left(\frac{\partial v_y}{\partial y} \right)^2 + \left(\frac{\partial v_z}{\partial y} \right)^2 \right] \right\} dV \end{aligned} \quad (11)$$

در رابطه (11) تابع های w , φ و ψ به ترتیب بیان گردیده اند. زاویه چرخش حول محور x و زاویه چرخش حول محور y هستند.

3- روش حل

به منظور محاسبه بار بحرانی کمانش باید رابطه انتگرالی (11) کمینه شود. در این بخش، نخست با معرفی پارامترهای بی بعد، شکل بی بعد رابطه (11) استخراج می شود. آن گاه روند حل براساس معادله بی بعد بیان خواهد شد.

$$\begin{aligned} \{\bar{d}_i^w\}_{m \times 1} &= \begin{cases} \bar{d}_1^w \\ \bar{d}_2^w \\ \vdots \\ \bar{d}_m^w \end{cases} \\ \{\bar{d}_i^\varphi\}_{m \times 1} &= \begin{cases} \bar{d}_1^\varphi \\ \bar{d}_2^\varphi \\ \vdots \\ \bar{d}_m^\varphi \end{cases} \\ \{\bar{d}_i^\psi\}_{m \times 1} &= \begin{cases} \bar{d}_1^\psi \\ \bar{d}_2^\psi \\ \vdots \\ \bar{d}_m^\psi \end{cases} \end{aligned} \quad (19)$$

در رابطه (19)، ضریب‌های \bar{d}_{iq}^w و \bar{d}_{iq}^φ در یک بردار ستونی مرتب شده‌اند که تعداد درایه هر بردار برابر m است. با توجه به همگن بودن دستگاه معادلات (18) و برای داشتن پاسخ غیربدیهی، لازم است دترمینان ماتریس ضرایب $[K]$ برابر صفر شود [13]. با مساوی صفر قرار دادن دترمینان ماتریس $[K]$ مقدارهای ویژه ماتریس حاصل می‌شود. تنش بحرانی کمانش با استفاده از کوچک‌ترین مقدار ویژه ماتریس $[K]$ محاسبه می‌شود [13].

4- نتایج عددی و بحث

در این بخش، نتایج تحلیل کمانش پلاستیک صفحه ضخیم بر پایه نظریه برشی مرتبه - بالای سینوسی ارائه می‌شوند. پیش از بررسی اثر پارامترهای مختلف بر تنش بحرانی کمانش، نخست نتایج تحلیل این مقاله ارزیابی و اعتبارسنجی شوند. برای این منظور، ابتدا روند همگرایی نتایج تحلیل بررسی می‌شوند. سپس به منظور اعتبارسنجی، تحلیل‌ها برای صفحه نازک و همچنین نظریه برشی میندلین تکرار و با نتایج مشابه در پژوهش‌های گذشته مقایسه می‌شود.

4-1- ارزیابی و اعتبارسنجی نتایج

برای ارزیابی و اعتبارسنجی نتایج، نخست روند همگرایی نتایج تحلیل بررسی می‌شود. پس از تأیید روند همگرایی تحلیل، لازم است اعتبار نتایج تحلیل این مقاله نشان داده شود، ولی براساس جستجوی نگارنده‌گان، تاکنون پژوهشی در زمینه تحلیل کمانش پلاستیک با استفاده از نظریه برشی مرتبه - بالا منتشر نشده است. به‌همین دلیل و برای اعتبارسنجی نتایج، تحلیل‌های مقاله با اصلاح فرمول‌بندی، برای کمانش پلاستیک صفحه نازک و همچنین کمانش پلاستیک صفحه ضخیم میندلین تکرار و با نتایج تحلیلی موجود مقایسه شده‌اند.

جدول 1 ثابت‌های مادی مورد استفاده در تحلیل‌های مقاله را نشان می‌دهد. لازم به توضیح است که نتایج ارائه شده در این مقاله، با استفاده از خصوصیت‌های مادی آلومینیوم 14S-T6 و آلومینیوم 7075-T6 که در جدول 1 با نام کوتاه (a) و (b) مشخص شده‌اند، ارائه می‌شوند. این مشخصات از مرجع [13] برگرفته شده‌اند.

در مرجع [17] برای بررسی اثر پارامترهای مادی بر تنش بحرانی کمانش پلاستیک صفحه نازک، از خصوصیات مادی (c) و (d) که به‌طور فرضی انتخاب شده‌اند، استفاده شده است. در این مقاله نیز برای بررسی تنش بحرانی کمانش پلاستیک صفحه نازک، تحلیل‌ها برای همین مشخصات مادی تکرار و با نتایج تحلیلی مرجع [17] مقایسه شده‌اند.

$$\psi = \psi_b \sum_{q=0}^p \sum_{i=0}^q \bar{d}_{iq}^\psi (\bar{x})^i (\bar{y})^{q-i} \quad (14)$$

در رابطه‌های (14) درجه چندجمله‌ای تابع‌های تقریب با p بیان شده است و \bar{d}_{iq}^φ و \bar{d}_{iq}^ψ ضریب‌های بی‌بعد هر جمله هستند. تابع‌های \bar{W}_b و ψ_b نیز چندجمله‌ای‌های پایه هستند که شرایط مرزی هندسی را ارضا می‌کنند. در این مقاله تنها شرایط تکیه‌گاهی ساده در چهار لبه ورق، بررسی می‌شود. شرایط مرزی هندسی برای شرایط تکیه‌گاهی ساده در چهار لبه ورق به‌وسیله رابطه‌های (15) بیان می‌شوند [13].

$$\begin{aligned} \bar{W}_b(\bar{x} = \pm 1) &= 0 \\ \bar{W}_b(\bar{y} = \pm 1) &= 0 \\ \varphi_b(\bar{y} = \pm 1) &= 0 \\ \psi_b(\bar{x} = \pm 1) &= 0 \end{aligned} \quad (15)$$

با توجه شرایط مرزی هندسی (15)، تابع‌های پایه \bar{W}_b ، φ_b و ψ_b به‌صورت چندجمله‌ای‌های (16) انتخاب شده‌اند.

$$\begin{aligned} \bar{W}_b &= (\bar{x}^2 - 1)(\bar{y}^2 - 1) \\ \varphi_b &= (\bar{y} - 1)(\bar{y} + 1) \\ \psi_b &= (\bar{x} - 1)(\bar{x} + 1) \end{aligned} \quad (16)$$

در نتیجه براساس تابع‌های پایه (16)، تابع‌های تقریب جابه‌جایی بی‌بعدشده و چرخش حول محورهای x و y به‌صورت رابطه (17) به‌دست می‌آیند.

$$\begin{aligned} \bar{W} &= \sum_{q=0}^p \sum_{i=0}^q \bar{d}_{iq}^w (\bar{x}^2 - 1)(\bar{y}^2 - 1)(\bar{x})^i (\bar{y})^{q-i} \\ \varphi &= \sum_{q=0}^p \sum_{i=0}^q \bar{d}_{iq}^\varphi (\bar{y}^2 - 1)(\bar{x})^i (\bar{y})^{q-i} \\ \psi &= \sum_{q=0}^p \sum_{i=0}^q \bar{d}_{iq}^\psi (\bar{x}^2 - 1)(\bar{x})^i (\bar{y})^{q-i} \end{aligned} \quad (17)$$

با قراردادن تابع‌های (17) در معادله (13)، انتگرال رابطه (13) برحسب ثابت‌های محاسبه می‌شود.

نقطه دوشاخگی که متناظر با آستانه کمانش است، با کمینه‌شدن رابطه (13) بهست می‌آید؛ بنابراین لازم است حاصل انتگرال (13) نسبت به ثابت‌های \bar{d}_{iq}^w ، \bar{d}_{iq}^φ و \bar{d}_{iq}^ψ کمینه شود. با مشتق‌گیری از رابطه اخیر نسبت به هر یک از ثابت‌ها و مساوی صفر قرار دادن هر رابطه، یک دستگاه $(3m)$ معادله و $(3m)$ مجهول، به‌شكل رابطه (18)، حاصل خواهد شد.

$$\left\{ \begin{array}{l} \left\{ \frac{\partial \Pi}{\partial \bar{d}_{iq}^w} \right\}_{m \times 1} \\ \left\{ \frac{\partial \Pi}{\partial \bar{d}_{iq}^\varphi} \right\}_{m \times 1} \\ \left\{ \frac{\partial \Pi}{\partial \bar{d}_{iq}^\psi} \right\}_{m \times 1} \end{array} \right\} = \{0\}_{3m \times 1} \quad (18)$$

پارامتر m در رابطه (18) نشان‌گر تعداد کل جمله‌ها در بسط هر یک از تابع‌های \bar{W}_b ، φ_b و ψ_b در رابطه (14) است. دستگاه معادلات (18)، یک دستگاه معادلات همگن است که می‌توان به‌صورت رابطه (19) بازنویسی کرد.

$$[K]_{3m \times 3m} \begin{Bmatrix} \{\bar{d}_i^w\} \\ \{\bar{d}_i^\varphi\} \\ \{\bar{d}_i^\psi\} \end{Bmatrix}_{3m \times 1} = \{0\}_{3m \times 1}$$

افزایش درجه تابع تقریب، پاسخها همگرا می‌شوند. به‌گونه‌ای که پاسخها به‌ازای تابع تقریب با $p=3$ و $p=4$ یکسان شده‌اند. براین اساس نتایج این پژوهش با استفاده از تابع تقریب با درجه $p=4$ بدست آمدند.

پس از بررسی همگرایی تحلیل‌ها، به‌منظور اعتبارسنجی نتایج، تنش بحرانی کمانش به‌دست آمده از تحلیل این مقاله با نتایج تحلیلی مشابه از مرجع‌های پیشین مقایسه می‌شود. نمودارهای شکل 4 مقایسه تنش بحرانی کمانش به‌دست آمده از تحلیل این مقاله را با نتایج مشابه از مرجع [17] نشان می‌دهد. نمودارهای شکل 4 برای صفحه مربعی نازک تحت فشار نشان می‌دهد. نمودارهای شکل 4 برای صفحه مربعی نازک تحت فشار دومحوره و رفتار مادی (c) و (d) در جدول 1 انجام شده‌اند. تنش بحرانی کمانش پلاستیک در این شکل براساس نظریه نموی به‌دست آمده‌اند.

مقایسه نمودارهای الف و ب در شکل 4 نشان می‌دهد با افزایش پارامتر c در مدل رامبرگ-آزگود، به‌ازای نسبت ضخامت ثابت، تنش بحرانی کمانش کاهش می‌یابد. این موضوع بدلیل آن است که با افزایش پارامتر c رفتار ماده به سمت رفتار پلاستیک کامل نزدیک‌تر می‌شود [17].

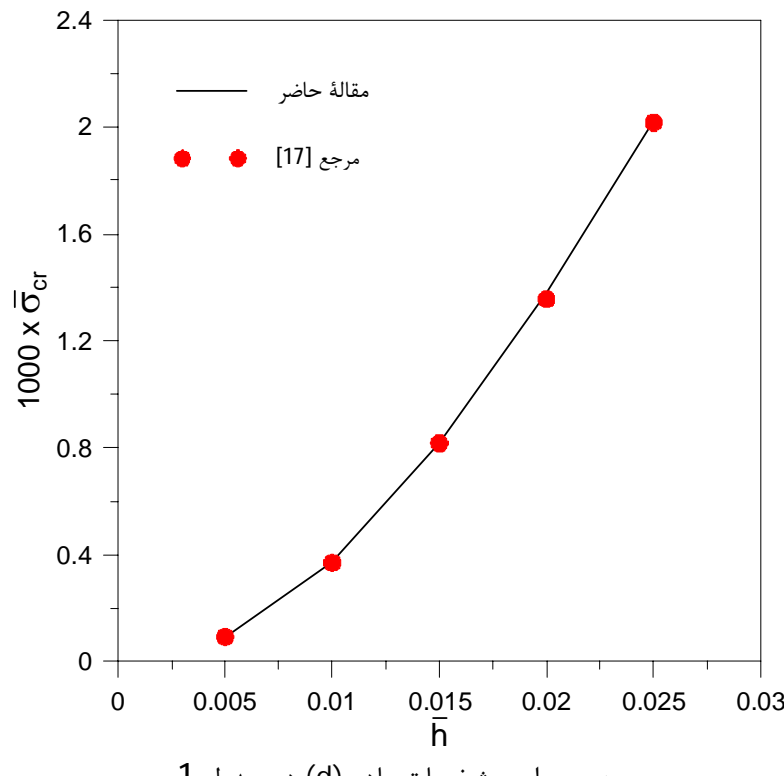
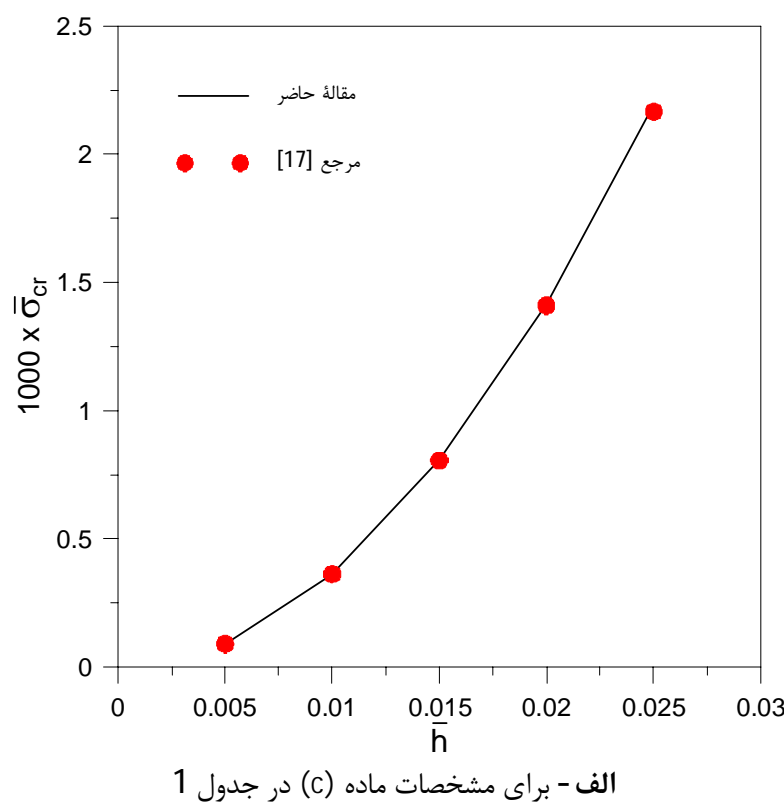
در نمودارهای شکل 5 نیز تنش بحرانی کمانش پلاستیک برای صفحه

در نمودارهای شکل 3 روند همگرایی تنش بحرانی کمانش، $\bar{\sigma}_{cr}$ ، بر حسب افزایش درجه تابع تقریب، p ، به‌ازای نسبت‌های ضخامت مختلف، \bar{h} ، نشان داده شده است.

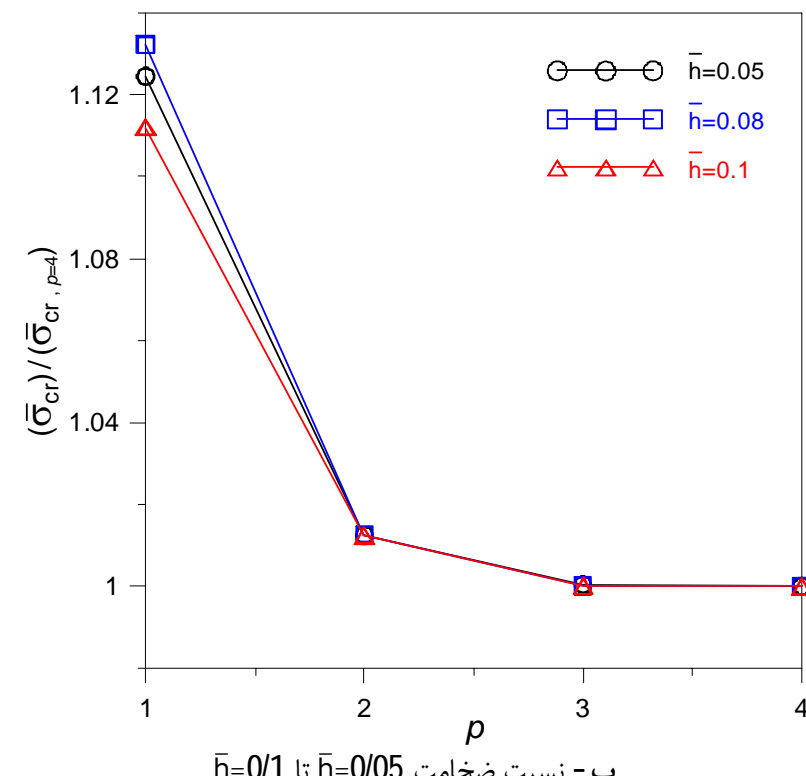
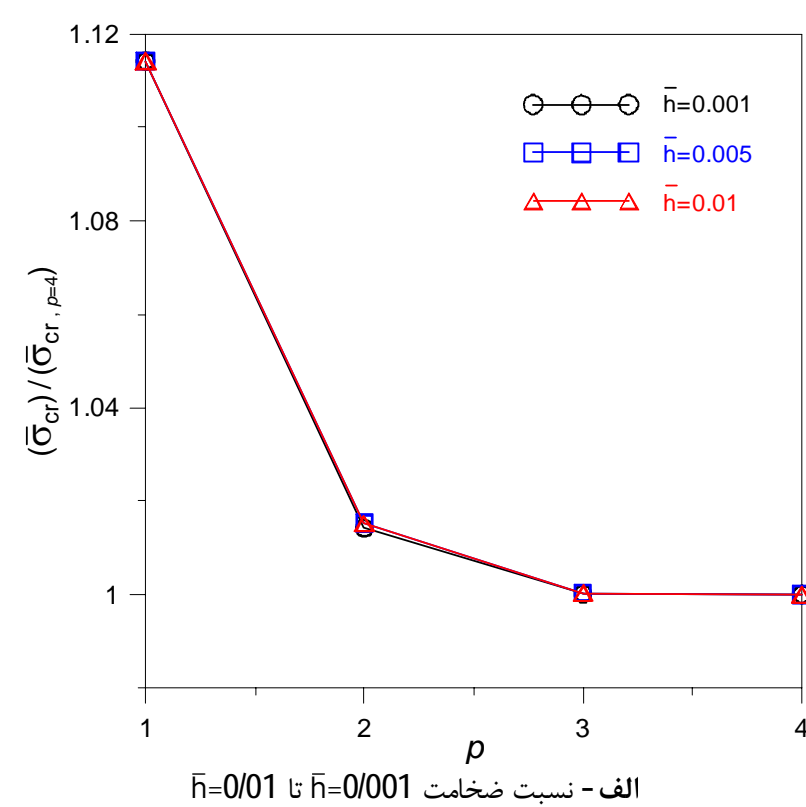
تحلیل‌های شکل 3 برای صفحه مربعی ضخیم و بر پایه نظریه برشی سینوسی و نظریه پلاستیستیه نموی، تحت فشار دومحوره انجام شده‌اند. در شکل 3 مقدار $\bar{\sigma}_{cr}$ در هر نسبت ضخامت، \bar{h} ، با تقسیم بر مقدار $\bar{\sigma}_{cr}$ به‌ازای تابع تقریب با درجه $p=4$ ($\bar{\sigma}_{cr}|_{p=4}$)، یکه شده است. مشاهده می‌شود که با

جدول 1 ثابت‌های مادی رامبرگ-آزگود برای ماده‌های مورد استفاده در تحلیل‌های این مقاله، برگرفته از مراجع‌های [17,13]

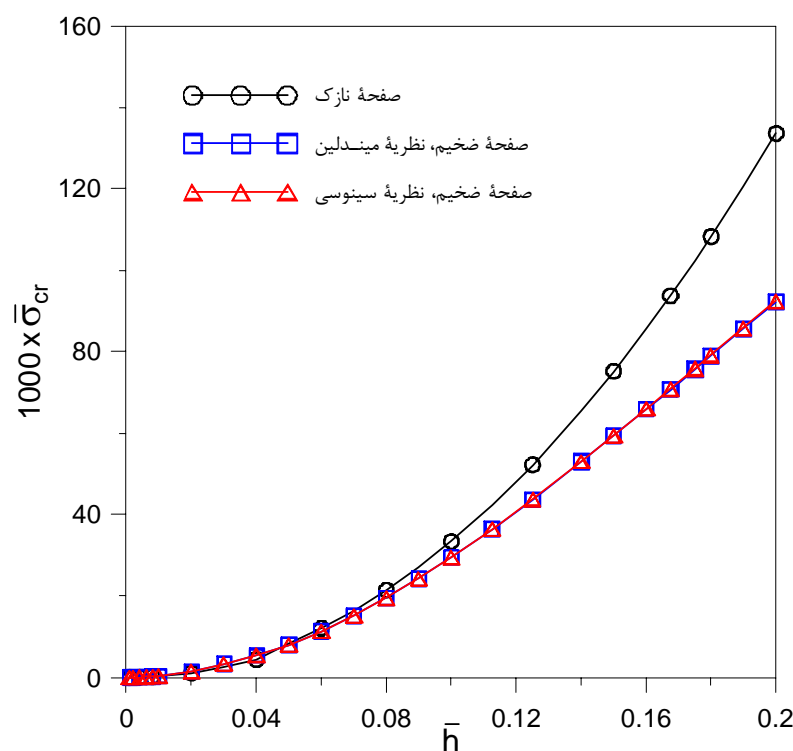
ν	$\frac{E}{\sigma_0}$	k	c	پارامتر	
				نوع ماده	
0/32	174/267	0/3485	20	14S-T6	(a)
0/30	750	0/25	20	7075-T6	(b)
0/33	750	0/25	2	فرضی	(c)
0/33	750	0/25	5	فرضی	(d)



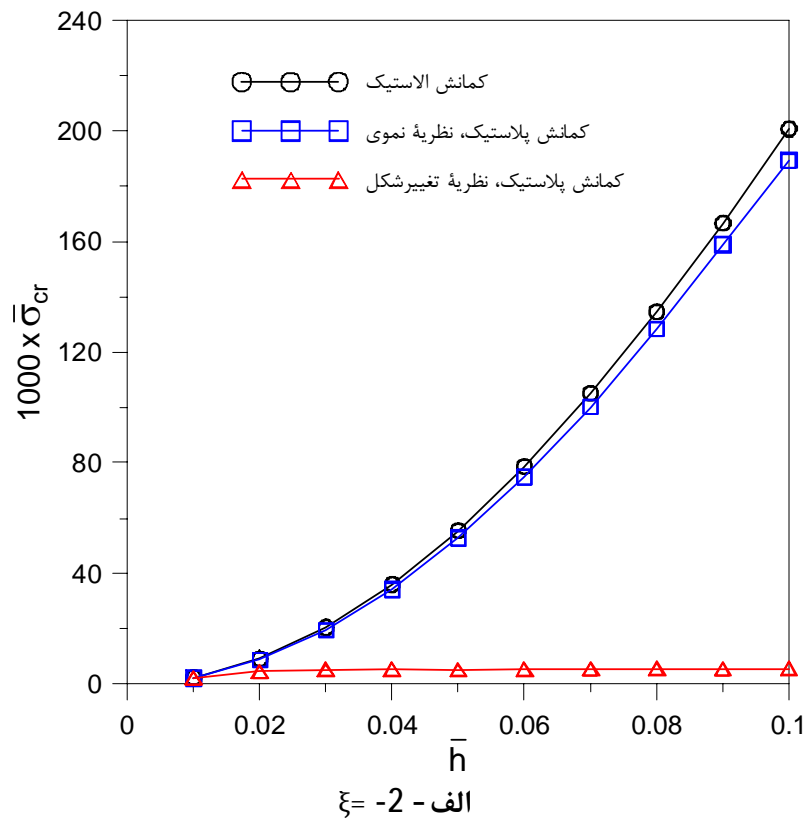
شکل 4 مقایسه تنش بحرانی کمانش پلاستیک با نتایج تحلیلی مشابه از مرجع [17]، برای صفحه مربعی نازک با مشخصات مادی (c) و (d) در جدول 1



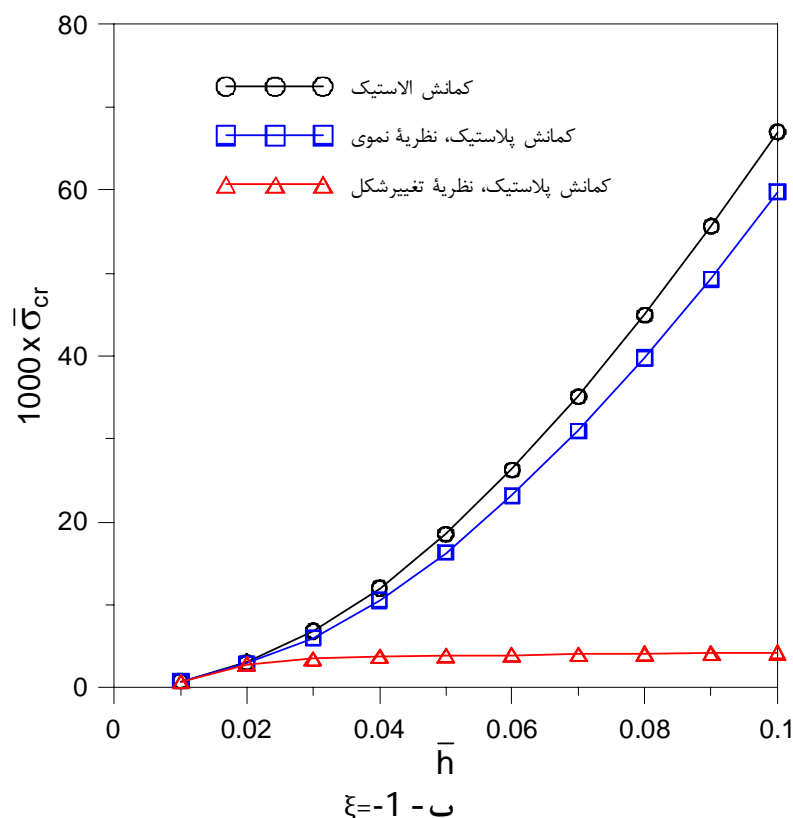
شکل 3 بررسی همگرایی تنش بحرانی کمانش بی‌بعد یکه شده، بر حسب افزایش درجه تابع تقریب، p ، برای نسبت‌های ضخامت مختلف و ماده (a) در جدول 1



شکل 6 مقایسه اثر نظریه‌های صفحه ضخیم سینوسی و میندلین و صفحه نازک بر تنش بحرانی کمانش پلاستیک صفحه مربعی، بر پایه نظریه نموی و بهازی $\xi = 0$



الف - 2 - $\xi = -2$



مربعی ضخیم براساس نظریه برشی میندلین، با نتایج تحلیلی مرجع [13] مقایسه شده‌اند. تنش‌های بحرانی در شکل 5 برای بارگذاری فشار دومحوره و به‌کارگیری هر دو نظریه تغییر شکل و نموی ارائه شده‌اند. نمودارهای شکل 5 نشان می‌دهند نظریه تغییر شکل در مقایسه با نظریه نموی، تنش بحرانی کمانش کوچکتری را پیش‌بینی می‌کند. در مراجع پیشین مانند [17,13] نیز به این موضوع اشاره شده است. هر چند دلیلی برای آن بیان نشده است. سازگاری بسیار خوب بین نتایج این مقاله و پاسخ‌های تحلیلی مراجعهای [17,13] در نمودارهای شکل‌های 4 و 5، در کنار تأیید روند همگرایی در شکل 3، بهروشنی نشان‌دهنده اعتبار نتایج تحلیل این مقاله است.

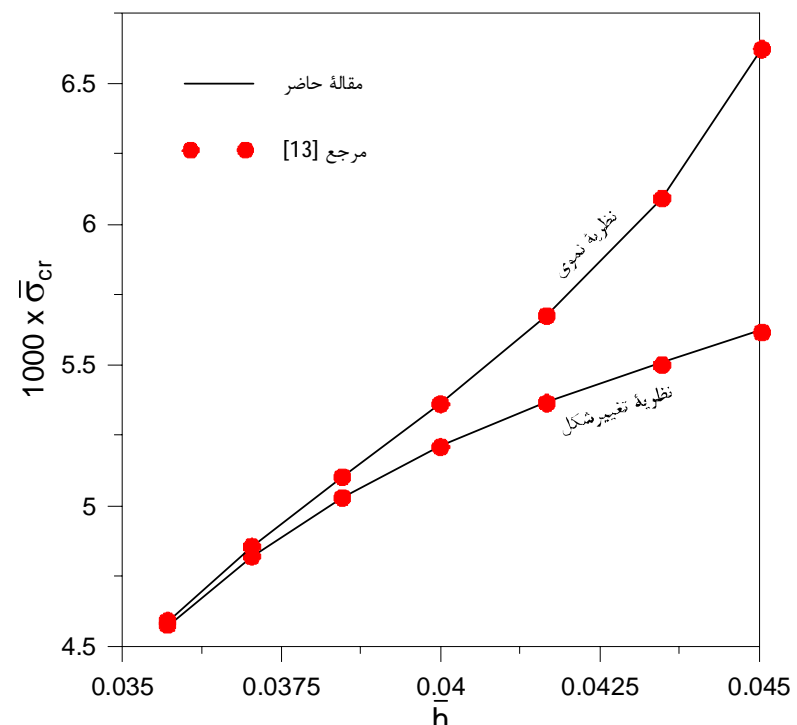
2-4- مطالعه اثر پارامترها بر تنش بحرانی کمانش

پس از اعتبارسنجی نتایج در بخش پیشین، در این بخش اثر پارامترهای مهم در مسأله مورد بررسی، بر تنش بحرانی کمانش مطالعه می‌شود.

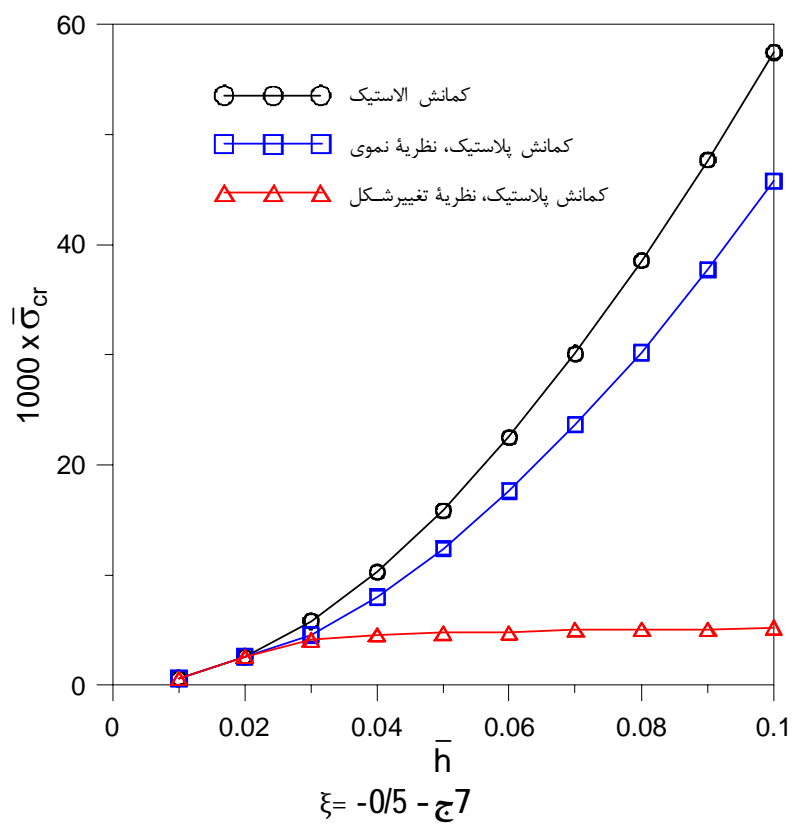
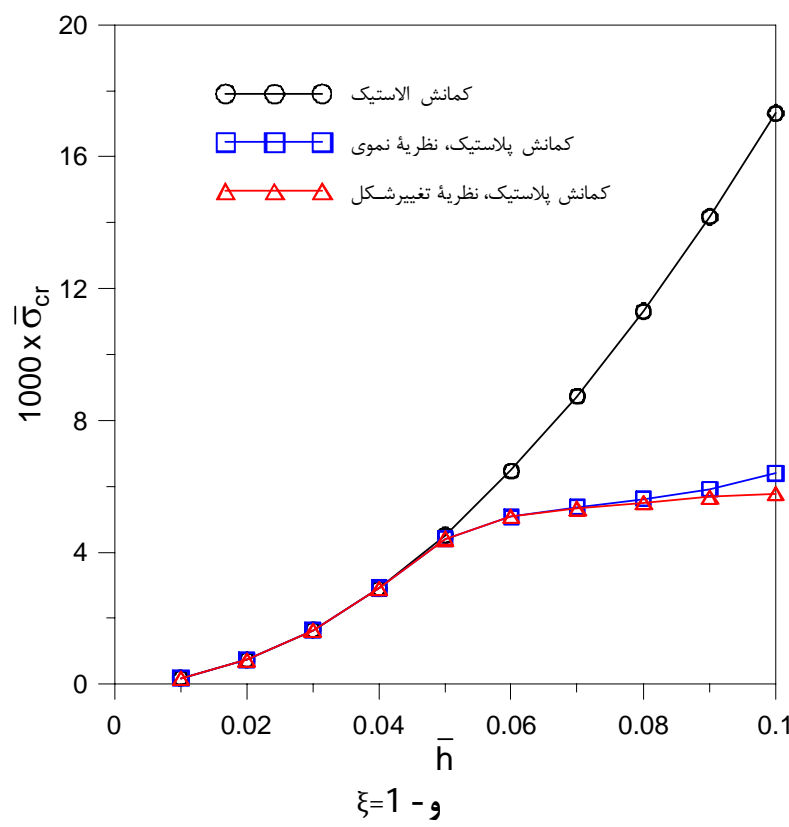
با توجه به استفاده از نظریه برشی سینوسی در این مقاله، به عنوان یک نظریه برشی مرتبه - بالا، نخستین پرسش قابل طرح، مقایسه اثر این نظریه با نظریه‌های مرتبه نخست میندلین و صفحه نازک، بر تنش بحرانی کمانش است. این موضوع در شکل 6 مورد بررسی قرار گرفته است. نمودارهای شکل 6 نشان می‌دهند نظریه‌های صفحه ضخیم در مقایسه با نظریه صفحه نازک، به‌ویژه در نسبت‌های ضخامت بزرگ، تنش بحرانی به مراتب کوچکتری را پیش‌بینی می‌کنند، زیرا حضور تنش‌های برشی سبب کاهش مقاومت صفحه در برابر کمانش می‌شوند، ولی از سوی دیگر بین نظریه‌های برشی میندلین و سینوسی اختلاف بسیار کمی مشاهده می‌شود. این موضوع که در مرجع [4] نیز در تحلیل کمانش الاستیک صفحه هدفمند گزارش شده، نشان‌گر آن است که درنظر گرفتن ضریب تصحیح برش¹ سبب می‌شود نظریه میندلین در پیش‌بینی تنش بحرانی کمانش از دقت کافی برخوردار باشد.

از جمله پارامترهای مهم که در این مسأله می‌تواند مورد توجه باشد، اثر نسبت بارگذاری، ξ ، بر تنش بحرانی کمانش است. در شکل 7 نمودارهای تنش بحرانی کمانش صفحه مربعی ضخیم، برحسب نسبت ضخامت، \bar{h} ، و بهازی نسبت‌های مختلف بارگذاری نمایش داده شده‌اند.

در هر یک از حالت‌های شکل 7، تنش بحرانی کمانش الاستیک به همراه



شکل 5 مقایسه تنش بحرانی کمانش پلاستیک با نتایج مشابه از مرجع [13]، برای صفحه مربعی ضخیم بر پایه نظریه برشی میندلین (ماده (a) در جدول 1)

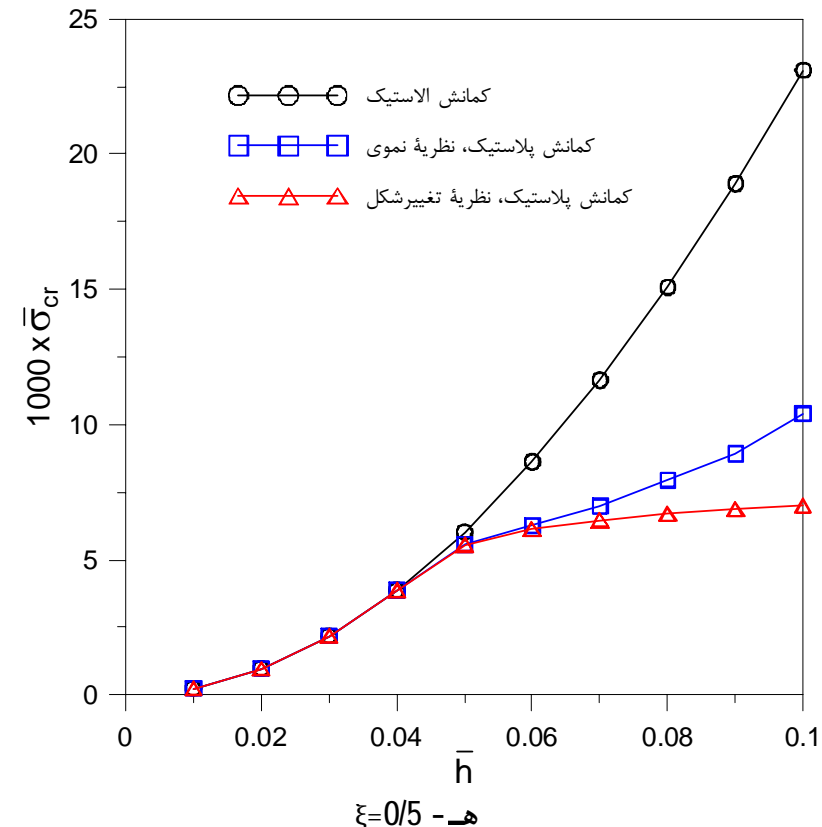
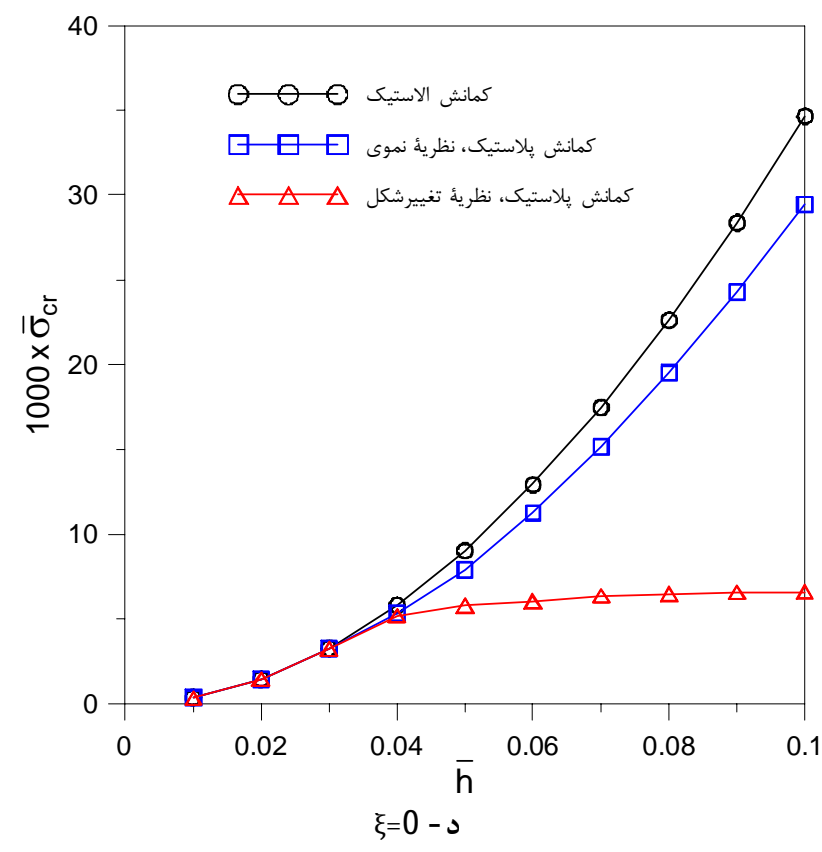


شکل 7 مقایسه اثر نسبت بارگذاری، ξ ، بر تنش بحرانی کمانش پلاستیک صفحه مربعی ضخیم، با استفاده از نظریه برشی سینوسی، برای ماده (a) در جدول 1

تنش بحرانی کمانش پلاستیک بر پایه نظریه نموی و تغییر شکل، برای صفحه ضخیم با مدل نظریه برشی سینوسی، نمایش داده شده‌اند. نخستین نکته‌ای که در نمودارهای شکل 7 مشاهده می‌شود آن است که با تغییر بارگذاری از وضعیت کشش - فشار ($\xi < 0$) به بارگذاری فشار دومحوره ($\xi > 0$) تنش بحرانی کمانش الستیک و پلاستیک، کاهش می‌یابد. این موضوع مورد انتظار نیز هست. زیرا کشش در یک جهت سبب می‌شود مقاومت صفحه در برابر فشار وارد شده در جهت دیگر افزایش یافته، بروز کمانش به تأخیر بیافتد. این روند تغییر تنش بحرانی کمانش برای کمانش الستیک و کمانش پلاستیک بر پایه نظریه نموی و تغییر شکل یکسان نیست. به گونه‌ای که با تغییر نسبت بارگذاری از $\xi = -1$ به $\xi = 1$ در نسبت ضخامت $\bar{h} = 0/1$ ، کاهش تنش بحرانی کمانش الستیک و کمانش پلاستیک با نظریه نموی به ترتیب حدود 74 و 89 درصد است. در حالی که براساس نظریه تغییر شکل تنش بحرانی کمانش پلاستیک در حدود 36 درصد افزایش یافته است. این افزایش برخلاف انتظار است. از سوی دیگر، همچنان که انتظار می‌رود، با کاهش تنش بحرانی کمانش، اختلاف دو نظریه نموی و تغییر شکل نیز کاهش می‌یابد [17]. هر چند در پژوهش‌های پیشین دلیل مشخصی برای وجود اختلاف بین دو نظریه پلاستیکی در پیش‌بینی تنش بحرانی کمانش ارائه و بیان نشده است.

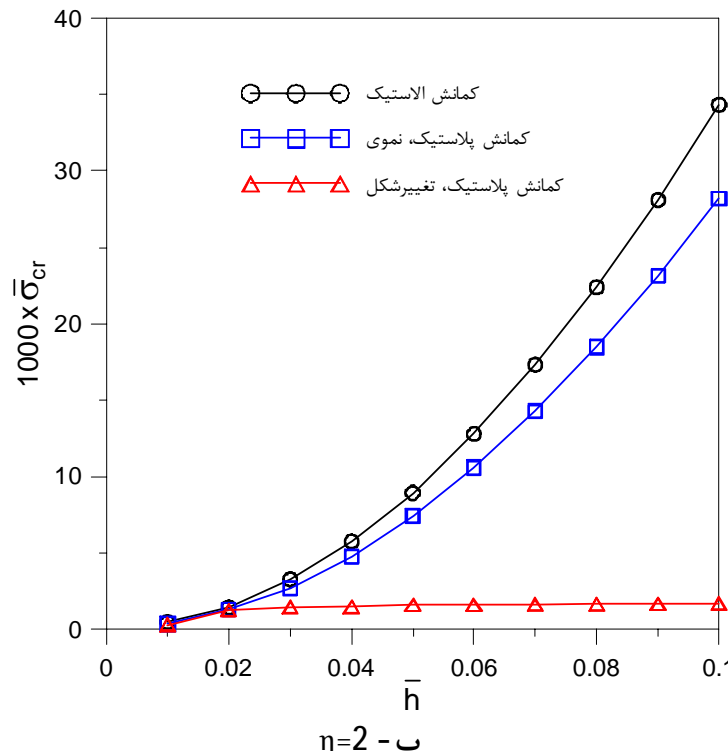
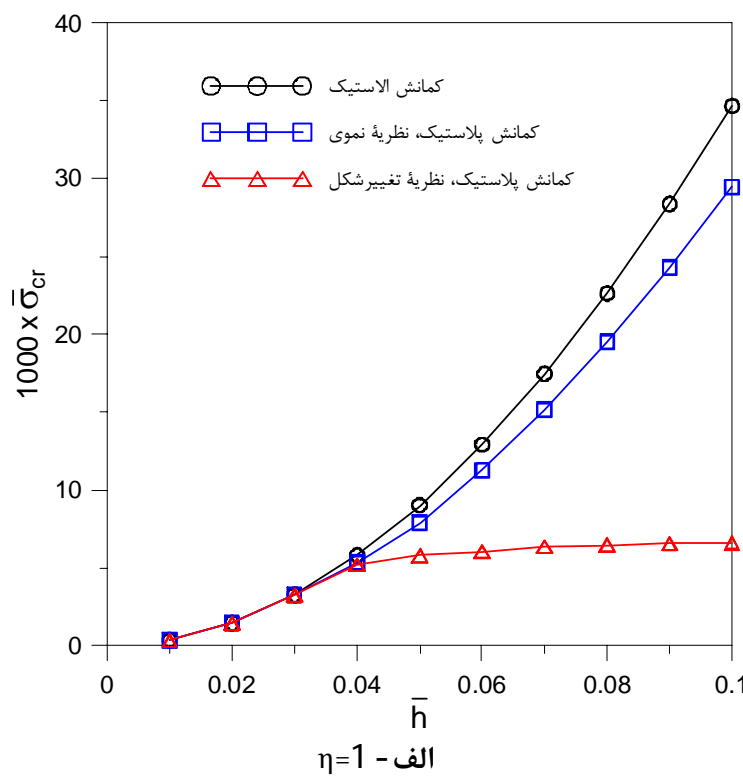
همچنین نتایج شکل 7 نشان می‌دهند برای نسبت‌های ضخامت کوچک و نسبت‌های بارگذاری بزرگ، تنش بحرانی کمانش الستیک برای تخمین بارگذاری نایابداری از دقت کافی برخوردار است و نیازی به تحلیل کمانش پلاستیک نیست.

برای بررسی دقیق‌تر اثر نسبت بارگذاری، نمودار تنش بحرانی کمانش بر حسب نسبت بارگذاری، برای صفحه مربعی، و بهازای دو نسبت ضخامت $\bar{h} = 0/1$ و $\bar{h} = 0/05$ در شکل 8 رسم شده است. در شکل 8، نمودارهای مربوط به کمانش الستیک و کمانش پلاستیک با نظریه‌های نموی و تغییر شکل ارائه شده‌اند. در نمودارهای شکل 8 نیز دو نتیجه مورد انتظار مشاهده می‌شود. نخست آن که بهازای نسبت ضخامت و نسبت بارگذاری مشخص، ترتیب تنش بحرانی کمانش به صورت الستیک، پلاستیک نموی و پلاستیک



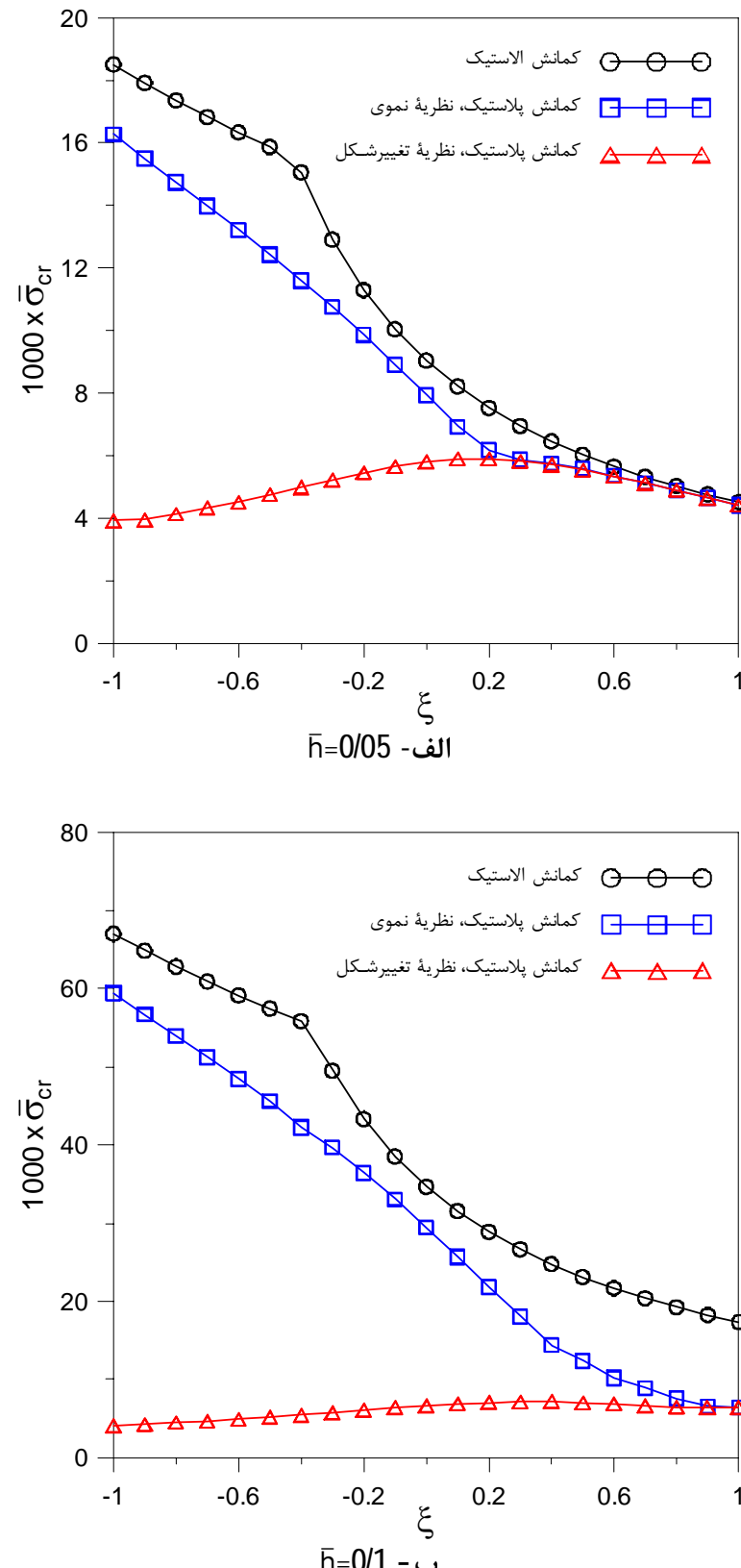
پلاستیک صفحه مربعی ضخیم با نظریه برشی سینوسی، برای ماده (a) در جدول 1 جنبه مهم دیگر در بررسی تنش بحرانی کمانش، اثر نسبت اندازه ضلعها، η ، بر تنش بحرانی کمانش است. به این منظور، نمودار تنش بحرانی کمانش بر حسب نسبت ضخامت، بهازای سه نسبت ضلع متفاوت ($\eta=1, 2, 3$)، در شکل 9 رسم شده است. نمودارهای شکل 9 مربوط به صفحه ضخیم با نظریه برشی سینوسی، تحت بارگذاری فشار تک محوره ($\xi=0$) است.

ویژگی مشترکی که میان نمودارهای شکل 9 مشاهده می‌شود، ترتیب نمودارهایست. در هر نسبت ضلع، بهازای یک نسبت ضخامت مشخص، تنش بحرانی کمانش الستیک بزرگ‌ترین و تنش بحرانی کمانش پلاستیک با نظریه تغییرشکل کوچک‌ترین مقدار را دارد. این نتیجه در پژوهش‌های پیشین، مانند [17, 16, 13] نیز به همین صورت مشاهده و گزارش شده است. همچنین از نتایج شکل 9 می‌توان دریافت که نسبت اندازه ضلعها، اثر قابل توجهی بر تنش بحرانی کمانش ندارد. به عبارت دیگر با افزایش نسبت اندازه ضلعها، به جز تغییر کوچکی در نمودار کمانش پلاستیک با نظریه تغییر شکل، تغییر قابل توجهی در نمودارهای تنش بحرانی کمانش برحسب نسبت ضخامت مشاهده نمی‌شود. دلیل این موضوع می‌تواند وجود تکیه‌گاه ساده در چهار لبه صفحه باشد. به گونه‌ای که درگیر بودن لبه‌های بدون بارگذاری، سبب اعمال محدودیت بر تغییر شکل و تأخیر در بروز کمانش شود.



تغییر شکل است. به علاوه در نسبت ضخامت $\bar{h}=0/05$ ، که نسبت ضخامت به نسبت کوچکی است، بهازای نسبت‌های بارگذاری مثبت ($\xi>0$)، به دلیل کاهش تنش بحرانی کمانش، پیش‌بینی کمانش الستیک و کمانش پلاستیک با هر دو نظریه نموی و تغییر شکل به یکدیگر نزدیک می‌شوند. یک نتیجه غیرمنتظره نیز در نمودارهای شکل 8 مشاهده می‌شود. نمودارهای شکل 8 نشان می‌دهند با تبدیل وضعیت بارگذاری از فشار دومحوره ($\xi>0$) به بارگذاری کشش- فشار ($\xi<0$)، تنش بحرانی کمانش پلاستیک پیش‌بینی شده به وسیله نظریه تغییرشکل کاهش می‌یابد. این نتیجه برخلاف انتظار و البته برخلاف پیش‌بینی کمانش الستیک و کمانش پلاستیک با نظریه نموی است. در مرجع [15] نیز مشابه همین روند در تحلیل کمانش پلاستیک صفحه نازک گزارش شده است.

با توجه به نمودارهای شکل 8 می‌توان نتیجه گرفت که در وضعیت بارگذاری کشش- فشار، نظریه پلاستیسیته تغییر شکل پیش‌بینی واقع‌بینانه‌ای از تنش بحرانی کمانش پلاستیک صفحه مستطیلی ارائه نمی‌دهد.



شکل 8 مقایسه اثر نسبت بارگذاری، ξ ، بر تنش بحرانی کمانش الستیک و کمانش

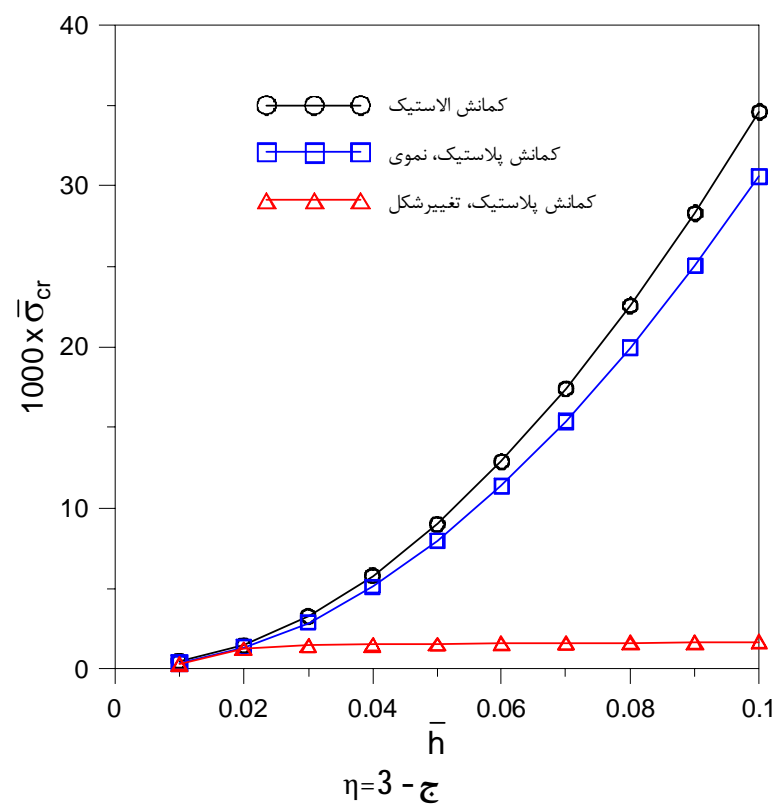
در این جا نیز برای بررسی دقیق‌تر اثر نسبت ضلع‌ها، نمودار تنش بحرانی کمانش بر حسب نسبت ضلع‌ها برای بارگذاری تکمحوره ($\xi=0$) و بهازای دو نسبت ضخامت $\bar{h}=0/05$ و $\bar{h}=0/1$ در شکل 10 رسم شده است. در نمودارهای شکل 10 مشاهده می‌شود، به‌جز نوسان‌های قسمت‌های نخستین (جهات کوچک) در هر نمودار، نسبت ضلع‌ها تقریباً اثربار تنش بحرانی کمانش پلاستیک ندارد. ناچیز بودن اثر نسبت ضلع‌ها بر تنش بحرانی کمانش، به‌ویژه در نظریه پلاستیسیته تغییر شکل بیشتر مشخص است. آن‌چه به‌صورت نوسان در \bar{h} -های نزدیک به 1 دیده می‌شود، به‌دلیل شکل مودهای¹ مختلف کمانش است. به این معنی که با تغییر نسبت ضلع‌ها، ممکن است تعداد نیم‌موج‌های طولی ثابت بماند و تعداد نیم‌موج‌های عرضی تغییر کند یا برعکس. این موضوع در کمانش الاستیک و همچنین کمانش پلاستیک صفحه مستطیلی نازک نیز در مرجع‌های [17,15] گزارش شده است، اما دلیلی برای آن بیان نشده است. از سوی دیگر با افزایش نسبت ضلع‌ها، صفحه به یک باریکه شبیه می‌شود و شکل مود کمانش در جهت طولی باریکه تعیین‌کننده خواهد بود. در نتیجه نسبت ضلع‌ها اثربار تنش بحرانی کمانش نخواهد داشت.

لازم به توضیح است که در پژوهش‌های پیشین که کمانش پلاستیک صفحه مستطیلی ضخیم با نظریه میندلین بررسی شده است، نگارندگان بررسی اثر نسبت ضلع‌ها بر تنش بحرانی کمانش را مشاهده نکرده‌اند. همچنین براساس نمودارهای شکل 10 مشخص است که افزایش نسبت ضلع‌ها، بر نتایج نظریه تغییر شکل اثر به‌مراتب کمتری نسبت به نتایج نظریه نموی دارند. به‌علاوه مقایسه شکل‌های 10-الف و 10-ب نشان می‌دهد، همان‌گونه که انتظار می‌رود، با افزایش نسبت ضخامت، پیش‌بینی تنش بحرانی کمانش در نظریه نموی به‌مراتب بیشتر از نظریه تغییر شکل افزایش می‌بابد. به عبارت دیگر اثر افزایش ضخامت در نظریه نموی به‌مراتب بیشتر از اثر آن در نظریه تغییر شکل است. این موضوع نیز به‌دلیل آن است که نظریه تغییر شکل در مقایسه با نظریه نموی، تنش بحرانی کوچک‌تری را پیش‌بینی می‌کند.

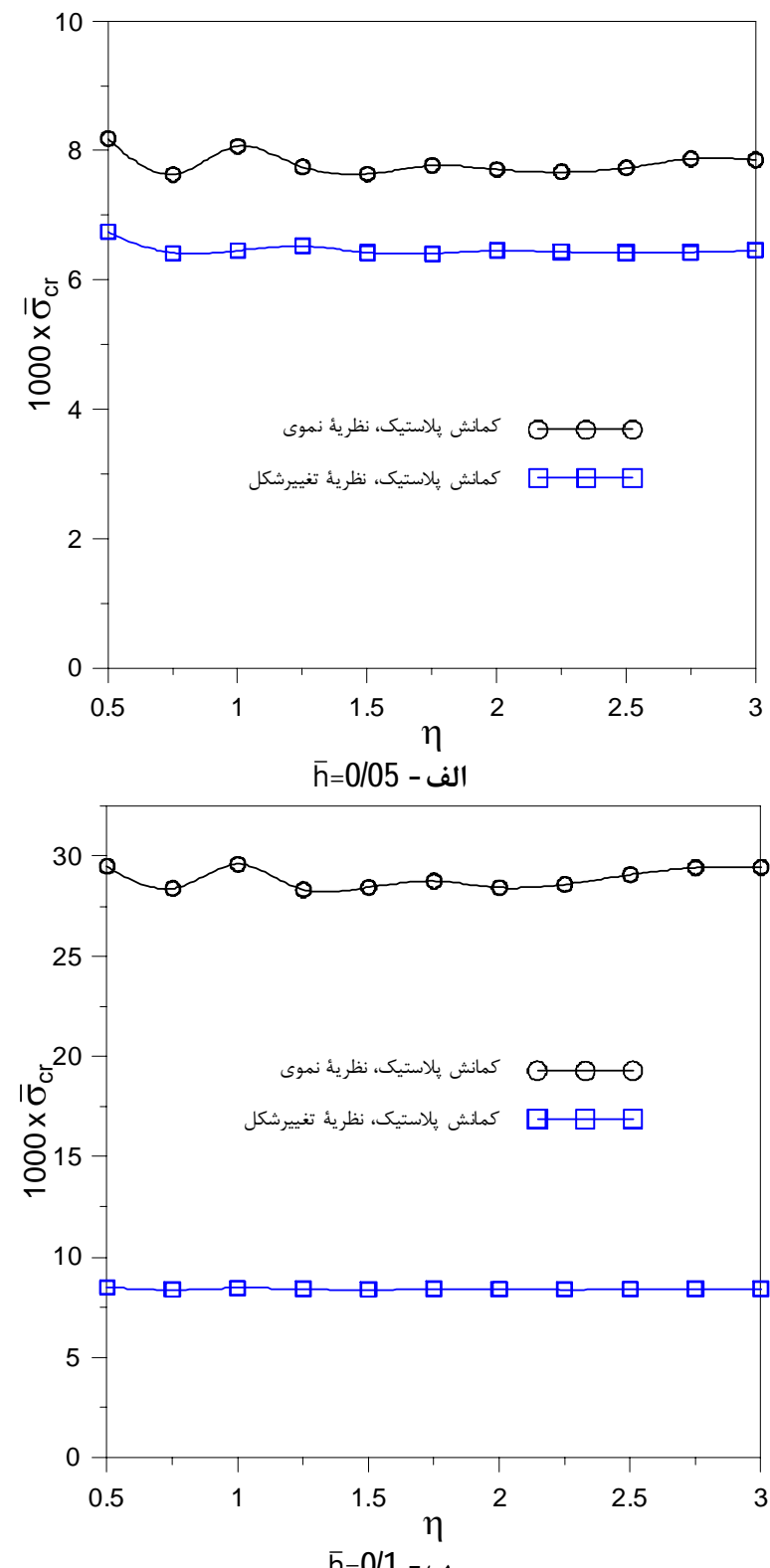
5- نتیجه‌گیری

در این مقاله، کمانش الاستیک- پلاستیک صفحه مستطیلی ضخیم تحت بارگذاری تنش یکنواخت روی لبه‌ها، با نسبت‌های مختلف بارگذاری، و تکیه‌گاه ساده در چهار لبه، مطالعه شد. کمانش الاستیک- پلاستیک بر پایه نظریه تغییر شکل برشی مرتبه - بالای سینوسی و به‌کارگیری هر دو نظریه متداول پلاستیسیته، یعنی نظریه‌های تغییر شکل و نموی، تحلیل شد. پس از اعتبارسنجی نتایج تحلیل، اثر تغییر نسبت ضخامت، نسبت بارگذاری و نسبت ضلع‌ها بر تنش بحرانی کمانش پلاستیک در هر دو نظریه پلاستیسیته و همچنین کمانش الاستیک بررسی و مقایسه شد. در این زمینه حالت‌های مختلف بارگذاری شامل فشار تکمحوره، فشار دوممحوره و بارگذاری کشش- فشار با نسبت‌های مختلف بارگذاری بررسی شد. مهم‌ترین نتیجه‌های به‌دست آمده را می‌توان در موارد زیر شمرد.

1- در مقایسه دو نظریه تغییر شکل برشی مرتبه نخست میندلین و مرتبه - بالای سینوسی، در محدوده $0/2 \leq \bar{h} \leq 0/6$ ، اختلاف بسیار کوچکی بین نتایج تنش بحرانی کمانش پلاستیک مشاهده شد. این موضوع نشان می‌دهد ضریب تصحیح برش که در نظریه برشی میندلین درنظر گرفته می‌شود، سبب می‌شود نظریه میندلین در پیش‌بینی تنش بحرانی کمانش از دقت کافی برخوردار باشد. به‌علاوه نتایج نشان می‌دهند که بهازای نسبت‌های ضخامت کوچک ($\bar{h} \leq 0/06$)، پیش‌بینی نظریه صفحه نازک و صفحه



شکل 9 مقایسه اثر نسبت ضلع‌ها، \bar{h} ، بر تنش بحرانی کمانش پلاستیک صفحه ضخیم با نظریه برشی سینوسی، برای نسبت بارگذاری $\xi=0$ و ماده (a) در جدول 1



شکل 10 مقایسه اثر نسبت ضلع‌ها، \bar{h} ، بر تنش بحرانی کمانش پلاستیک صفحه ضخیم با نظریه برشی سینوسی، برای نسبت بارگذاری $\xi=0$ و ماده (b) در جدول 1

مؤلفه‌های برشی کرنش	γ_{ij}
مؤلفه‌های عمودی کرنش	ϵ_{ij}
کرنش معادل	ϵ_{eq}
نسبت بی بعد اندازه ضلع‌های صفحه مستطیلی	η
نسبت بی بعد بارگذاری (تنش در جهت x به تنش در جهت y)	ξ
تابع انرژی پتانسیل کل در معیار پایداری	Π
ضریب پواسون	ν
پارامتر بی بعد مادی وابسته به ضریب پواسون و نسبت مدول وتری و مدول مماسی به مدول الاستیسیته	ρ
مؤلفه‌های عمودی تنش (Pa)	σ_{ij}
تنش معادل (Pa)	σ_{eq}
مؤلفه‌های تنش بی بعد	$\bar{\sigma}_{ij}$
تنش بحرانی کمانش بی بعد	$\bar{\sigma}_{cr}$
تنش تسلیم نامی و یکی از ثابت‌های رابطه رامبرگ - آزگود (Pa)	σ_0
مؤلفه‌های برشی تنش (Pa)	τ_{ij}
زاویه چرخش حول محور y (rad)	φ
زاویه چرخش حول محور x (rad/s)	ψ
نرخ چرخش حول محور x (rad/s)	ω_x
نرخ چرخش حول محور y (rad/s)	ω_y
عملگرهای مشتق نسبت به زمان	()

7- مراجع

- [1] N. Yamaki, Buckling of Thin Annular Plate Under Uniform Compression, Journal of Applied Mechanics, Vol. 25, No. 3, pp. 267-273, 1958.
- [2] S. P. Timoshenko, J. M. Gere, Theory of Elastic Stability, New York: McGraw-Hill, 1961.
- [3] S. Majumdar, Buckling of a Thin Annular Plate Under Uniform Compression, AIAA Journal, Vol. 9, No. 9, pp. 1701-1707, 1971.
- [4] H. T. Thai, T. P. Vo, A new sinusoidal shear deformation theory for bending, buckling and vibration of functionally graded plates, Journal of Applied Mathematical Modelling, Vol. 37, No. 3, pp. 3269-3281, 2013.
- [5] A. A. Illyushin, The Elasto-Plastic Stability of Plates, NACA Technical Memorandum, No. 1188, 1947.
- [6] E. Z. Stowell, A Unified Theory of Plastic Buckling of Columns and Plates, NACA Technical Note, No. 898, 1948.
- [7] G. H. Handelman and W. Prager, Plastic Buckling of Rectangular Plates Under Edge Thrusts, NACA Technical Note, No. 1530, 1948.
- [8] H. A. El-Ghazaly, A. N. Sherbourne, Defromation Theory for Elastic-Plastic Buckling Analysis of Plates Under Non-Proportional Planar Loading, Computers and Structures, Vol. 22, No. 2, pp. 131-149, 1986.
- [9] D. Durban, Z. Zuckerman, Elastoplastic Buckling of Rectangular Plates in Biaxial Compression/Tension, International Journal of Mechanical Sciences, Vol. 41, No. 3, pp. 751-765, 1999.
- [10] J. Betten, C. H. Shin, Elastic-plastic buckling analysis of rectangular plates subjected to biaxial loads, Forschung im Ingenieurwesen, Vol. 65, pp. 273-278, 2000.
- [11] C. M. Wang, Y. Chen, Y. Xiang, Plastic Buckling of Rectangular Plates Subjected to Intermediate and End Inplane Loads, Journal of Solids and Structurees, Vol. 41, No. 4, pp. 4279-4297, 2004.
- [12] S. C .Shrivastava, Inelastic Buckling of Plates Including Shear Effects, International Journal of Solids and Structures, Vol. 15, pp. 567-575, 1979.
- [13] C. M. Wang, Y. Xiang, J. Chakrabarty, Elastic/Plastic Buckling of Thick Plates, International Journal of Solids and Structures, Vol. 38, pp. 8617-8640, 2001.
- [14] C. M. Wang, T. M. Aung, Plastic Buckling Analysis of Thick Plates Using P-Ritz Method, International Journal of Solids and Structures, Vol. 44, No. 3, pp. 6239-6255, 2007.
- [15] M. Maarefdoust, M. Kadkhodayan, A comparison between the incremental and deformation theories to analyze elastoplastic buckling of thin rectangular plates by GDQ method, Modares Mechanical Engineering, Vol. 12, No. 3, pp. 11-26, 2012. (In Persian)
- [16] S. Rezaei, M. Salmani Tehrani, Elastic-Plastic Symmetrical Buckling Analysis of a Solid Circular Plate of Variable Thickness, Modares Mechanical Engineering, Vol. 15, No. 2, pp. 25-33, 2015. (In Persian)
- [17] J. Chakrabarty, Applied Plasticity, Second Edition, pp. 519-522, New York, Springer, 2010.

ضخیم بسیار به یکدیگر نزدیک هستند.

2- در نظریه پلاستیسیته تغییر شکل و در بارگذاری دومحوره کشنش - فشار ($\xi=0$), با افزایش نسبت کشنش به فشار (منفی تر شدن نسبت بارگذاری،

ξ)، تنش بحرانی کمانش پلاستیک کاهش می‌یابد. این نتیجه برخلاف انتظار و البته برخلاف پیش‌بینی کمانش الاستیک و کمانش پلاستیک در نظریه نموی است؛ بنابراین به نظر می‌رسد نتایج نظریه تغییر شکل در بارگذاری کشنش - فشار قابل اعتماد نباشد.

3- در بررسی اثر نسبت ضلع‌ها بر تنش بحرانی کمانش مشاهده شد تا حدود $\eta=1/5$ تغییرات افزایش - کاهشی (موجی‌شکل) در نمودار تنش بحرانی کمانش رخ می‌دهد. این تغییرات موجی به دلیل شکل مود کمانش است.

به عبارت دیگر با تغییر نسبت ضلع‌ها، ممکن است تعداد نیم‌موج‌های طولی ثابت بماند و تعداد نیم‌موج‌های عرضی تغییر کند یا بر عکس. با افزایش نسبت ضلع‌ها، چون صفحه به‌شکل یک باریکه تبدیل می‌شود،

شکل مود کمانش در جهت طولی تعیین کننده حالت کمانش است و در نتیجه نسبت ضلع‌ها اثربار تنش بحرانی کمانش نخواهد داشت.

نگارندگان بررسی اثر نسبت ضلع‌ها بر تنش بحرانی را در پژوهش‌های پیشین که در زمینه کمانش پلاستیک صفحه مستطیلی ضخیم با نظریه میندلین منتشرشده، مشاهده نکرده‌اند.

6- فهرست نمادها و نشانه‌ها

اندازه ضلع صفحه مستطیلی به موازات محور x (m)	a
اندازه ضلع صفحه مستطیلی به موازات محور y (m)	b
یکی از ثابت‌های مکانیکی بی بعد در رابطه رامبرگ - آزگود	c
ضریب‌های بی بعد در تقریب ریتز جابه‌جاوی عرضی بی بعد $\bar{d}_{iq}^w(\bar{d}_i^w)$	\bar{w}
ضریب‌های بی بعد در تقریب ریتز تابع چرخش φ	$\bar{d}_{iq}^\varphi(\bar{d}_i^\varphi)$
ضریب‌های بی بعد در تقریب ریتز تابع چرخش ψ	$\bar{d}_{iq}^\psi(\bar{d}_i^\psi)$
مدول الاستیسیته و از ثابت‌های رابطه رامبرگ - آزگود (Pa)	E
یکی از ثابت‌های مکانیکی بی بعد در رابطه رامبرگ - آزگود	k
مدول برشی در شکل نرخی معادله‌های ساختاری (Pa)	G
ضخامت صفحه (m)	h
ضخامت بی بعد (نسبت ضخامت) صفحه	\bar{h}
تعداد جمله‌ها در تقریب ریتز تابعها	m
درجه چندجمله‌ای در تقریب ریتز تابعها	p
مدول وتری (Pa)	S
مدول مماسی (Pa)	T
به ترتیب مؤلفه‌های x , y و z سرعت (m/s) v_x, v_y, v_z	
جابه‌جاوی عرضی (m)	w
جابه‌جاوی عرضی بی بعد	\bar{w}
مختصات در دستگاه دکارتی (m)	x, y, z
مختصات بی بعد دکارتی درون‌صفحه‌ای	\bar{x}, \bar{y}
نمادهای یونانی	
پارامتر بی بعد مادی وابسته به ضریب پواسون و نسبت مدول وتری و مدول مماسی به مدول الاستیسیته	α
پارامتر بی بعد مادی وابسته به ضریب پواسون و نسبت مدول وتری و مدول مماسی به مدول الاستیسیته	β
پارامتر بی بعد مادی وابسته به ضریب پواسون و نسبت مدول وتری و مدول مماسی به مدول الاستیسیته	γ